

# Scanning & Transmission Electron Microscopy revela grafeno y parásitos en CoV-19 Vaccines

Actualizado:6 de julio de 2023

5 de febrero de 2021 - Actualizado 1 de octubre, 2021 y 12 de marzo de 2022. 7 de julio de 2023[88]

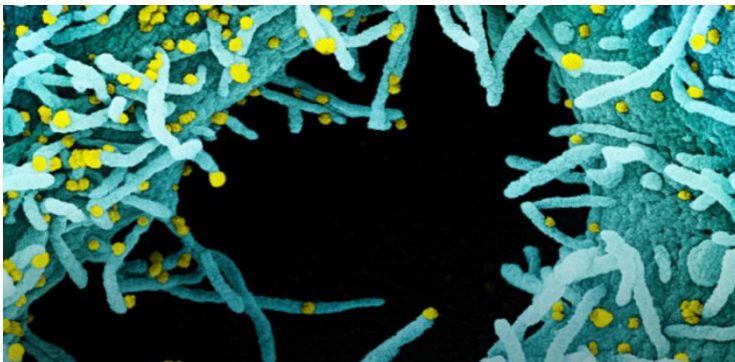
Autor: Robert O Young CPC, MSc, DSc, PhD, Naturopathic Practitioner

[www.drrobertyoung.com](http://www.drrobertyoung.com)

16a Revisión



**Fase Contrast, Campo Oscuro, Microscopía de Campo Brillo, Microscopía de Transmisión y Escaneo de Electron Microscopy yEspectroscopia de rayos X dispersiva de energíaRevelar los Ingredientes Venenosos en las Vacunas CoV-19.**



Los gérmenes nacen en nosotros y de nosotros como una infección de las células del cuerpo. En otras palabras, los gérmenes son síntomas de la desorganización celular y genética y NO la causa específica de la desorganización celular y genética. El GERM NO ES TODO y el TERRAIN es TODO . Los gérmenes sólo pueden contribuir a un estado de desequilibrio tóxico, pero NUNCA pueden causar ninguna enfermedad o enfermedad específica[55]. - Doctor. Robert O. Joven

## Resumen

Actualmente hay cuatro grandes compañías farmacéuticas que fabrican un SARS-CoV-2 que ahora se llama vacuna SARS-CoV-19. Estas manufacturas y su vacuna sonPfizer--BioNTech mRNA

Vaccine, elModerna-Lonza mRNA-1273 Vacuna, elInstituto del SueroOxford Astrazeneca VaccineyJanssenCOVID -19Vacuna, fabricado porJanssenBiotech Inc., aJanssenEmpresa farmacéutica deJohnson & Johnson, arecombinante, replicación-incompetente adenovirus tipo 26 que expresa la proteína de pico SARS-CoV-2.El propósito previsto de estas vacunas es proporcionar inmunidad contra el llamado coronavirus de la llamada novela infecciosa o virus SARS-CoV - 2 que ahora se llama SARS-CoV - 19. Estas cuatro compañías farmacéuticas no han proporcionado la divulgación completa de la FDA en su caja de vacunas, insertan hojas de datos o etiquetas para muchos de los principales y/o ingredientes menores que contienen dentro de estas llamadas vacunas. El propósito de este artículo de investigación es identificar los ingredientes principales y menores específicos contenidos en laPfizer Vaccine, la vacuna Moderna, la Vacuna Astrazeneca y la Vacuina Janssen utilizando diversas pruebas anatómicas, fisiológicas y funcionales científicas para cada vacuna SARS-COV-2-19.Como derecho humano, regido por la Ley Mundial por el Código de Nuremberg de 1947, la información específica sobre los ingredientes de la vacuna es crítica, necesaria y necesaria para saber para que cualquier humano de cualquier país del mundo pueda tomar una decisión informada si consiente o no la inoculación SAR-CoV-2-19. Hemos llevado a cabo las pruebas científicas en cada vacuna y hemos identificado varios ingredientes o adyuvantes que no han sido revelados que están contenidos en estas cuatro vacunas SARS-CoV - 2 - 19.

Actualmente, estas vacunas se están administrando a millones de humanos en todo el mundo bajo unAutorización de uso de emergencia (EUA)emitido por cada país sin la divulgación completa de todos los ingredientes y en algunos casos ordenado por gobiernos o empleadores en violación de los derechos humanos individuales bajo el Código de Nuremberg de 1947.[88]

### Metodología y Técnicas

Se analizaron cuatro vacunasque son el Pfizer-BioNtech, Moderna-Lonza mRNA-1273Vacuna,Vaxzevria de Astrazeneca, Janssen de Johnson & Johnson, utilizando diferentes instrumentos y protocolos de preparación de acuerdo con nuevos enfoques tecnológicos de nanomartén. La diferente instrumentación incluye Microscopía óptica, Microscopía de campo brillante, microscopía de contraste de pHasa, microscopía de campo oscuro, absorbancia UV y Espectroscopia de la fluorescencia, Microscopía electrónica de escaneo, Microscopía de Transmisión, Espectroscopia Dispersiva de Energía, Diffractometer X, Instrumentos de Resonancia Magnética Nuclear para verificar las morfologías y contenidos de la energía. Para las mediciones de alta tecnología y el cuidado de la investigación, se activaron todos los controles y se adoptaron mediciones de referencia para obtener resultados validados.

### **Contrascopia de la fase de sangre en vivo y microscopía de campo oscuro**

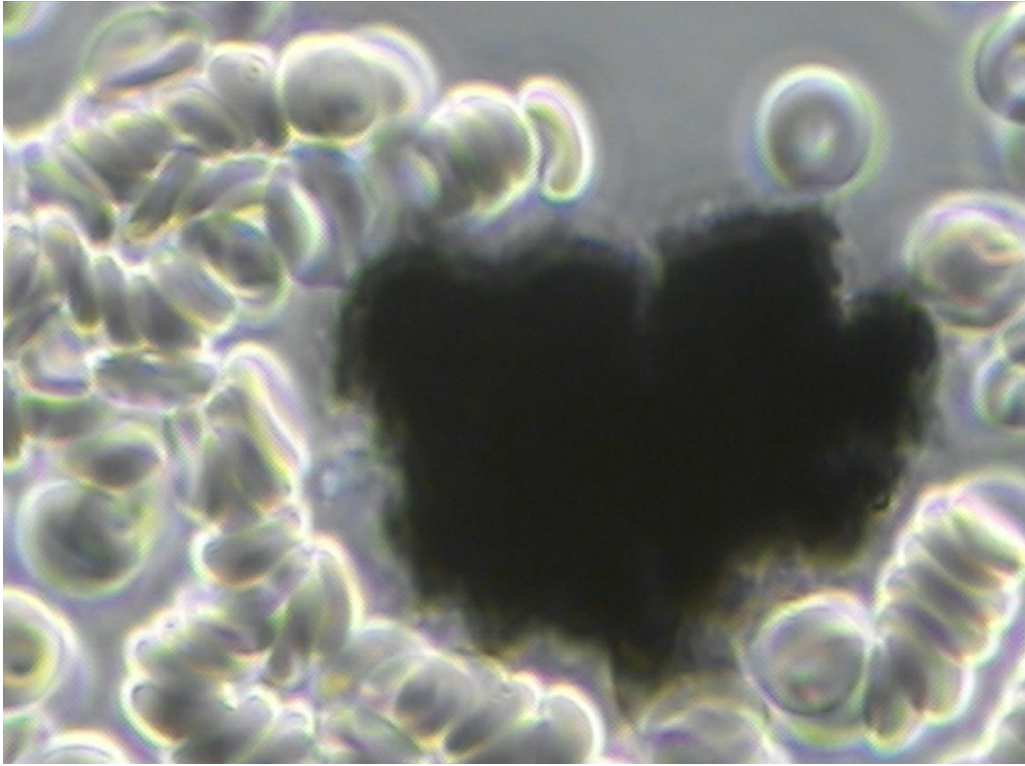
Las imágenes de las fracciones acuosas de las vacunas se obtuvieron posteriormente para evaluar visualmente la posible presencia de partículas o grafeno de carbono.

Las observaciones bajo microscopía óptica revelaron una abundancia de objetos laminares 2D transparentes que muestran gran similitud con imágenes de la literatura (Xu et al, 2019), y con imágenes obtenidas de rGO o Graphene Hydroxide estándar (SIGMA) (Figuras 1, 2 y 3).

Se obtuvieron imágenes de grandes láminas transparentes de tamaño y formas variables, mostrando objetos corrugados y planos, irregulares. Hojas más pequeñas de formas poligonales, también similares a los copos descritos en la literatura (Xu et al, 2019) fueron reveladas usando pHas Contrast y microscopía de campo oscuro (Figura 3).

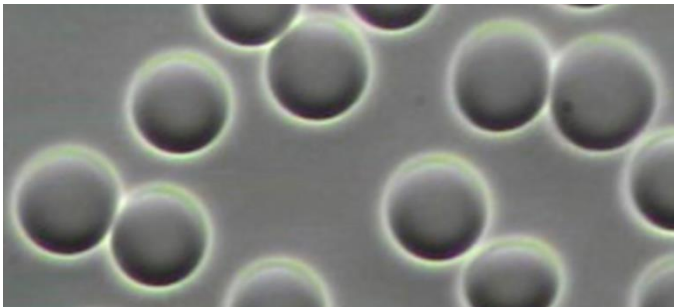
Todos estos objetos laminares estaban generalizados en la fracción acuosa de la sangre (Figura 1) o muestra de vacuna (Figuras 2 y 3) y ningún componente descrito por la patente registrada puede estar asociado con estas hojas.

En la Figura 1 se puede ver qué bomba de racimo de oxido de grafeno reducido (rGO) o Graphene Hydroxide se parece en la vida de la vida en vivo de la vida So-Called Pfizer, Moderna, Astrazeneca y Janssen "Vaccines".



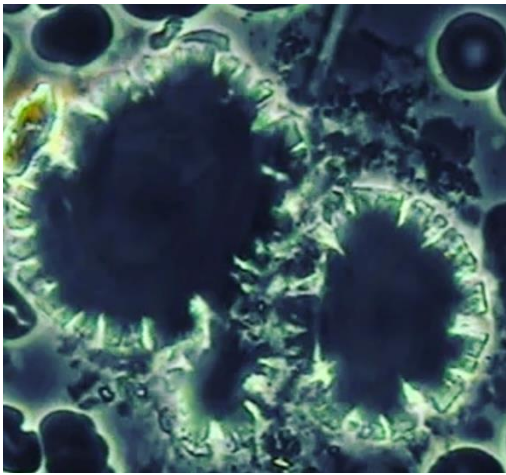
[La Figura 1 es una Micrográfica de un Clúster de Carbono de Oxido de Grafeno Reducido (rGO o Graphene Hydroxide) Visto en la sangre humana incontenible en vivo con microscopía de contraste de pHase a 1500x. Tenga en cuenta que las células rojas de sangre están tragando y alrededor del rGO Crystal en un Estado conocido como Rouleau. Una palabra francesa que significa encadenar. Dr. Robert O. Young, Profiles in Medical Microscopy, Hikari OmniPublicishing, 1987 - 2021]

#### **Sangre en vivo saludable normal antes de mRNA CoVid - 19 Inoculación**



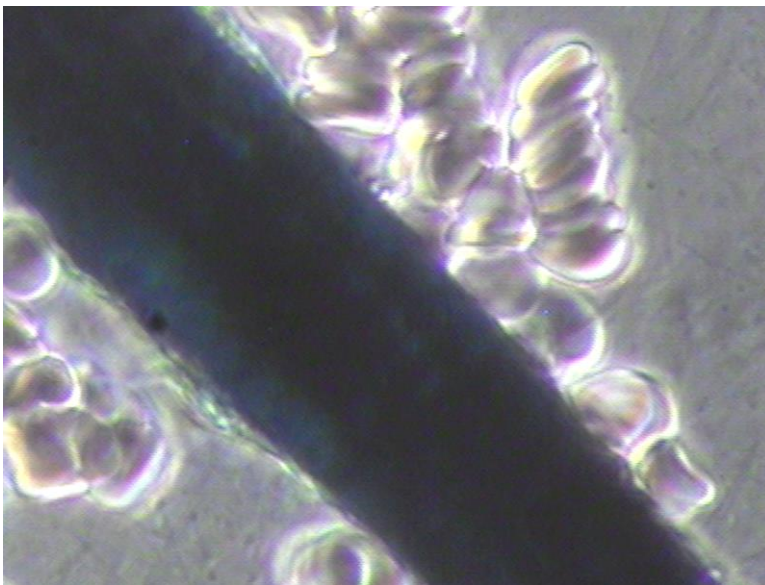
[Figura 1a Micrografia bajo la microscopía de contraste de fase revela el estado normal saludable de los glóbulos rojos que incluso son de color, incluso en forma e incluso en tamaño. Los glóbulos rojos en su estado sano miden anatómicamente 7 micras de diámetro. Dr. Robert O. Young, Profiles in Medical Microscopy, Hikari Omni Publishing, 1987-2021]

#### **Sangre en vivo anormal Desalojo después de mRNA CoVid - 19 Inoculación Revelación de Crystallized Red Blood Cells con que rap (s) o ronde de sangre celular de Graphene**



[Figura 1b Micrografía tocada en fase de la microscopía de contraste revela la sangre viva 24 horas después de la Vacuna de ARN AM ahora que contiene glóbulos rojos cristalizados, transformaciones biológicas de glóbulos rojos y blancos, grandes snisplastes de óxido de grafeno reducido o cristales de hidróxido de grafeno central y cristales de ácido orótico en la esquina superior derecha de la micrografía. Dr. Robert O. Young, Hikari Omni Publishing, septiembre de 2021[73][74][83][83]]

**Nano y Micro Graphene Tubes encontrados en la CoVid - 19 Inoculado Live Blood Causing Blood Coagulation Pathological Blood Coagulation Leading to Hypercapnia, Hypoxia and Death by Suffocation.[73]**



[Figura 1c Viote bajo pHasa Microscopía de contraste a Nanotube de Graphene Oxide en Células de Sangre Rojo Coaguladas o una Coloque de sangre. Dr. Robert O. Young, Hikari Omni Publishing, 2021][2][73][74][83]



[Figura 1d vista Bajo pHasa Microscopía de contraste a Nanotube de Grafeno Oxido en Células de Sangre Roja Coaguladas o Coagulados de Sangre. Dr. Robert O. Young, Hikari Omni Publishing, 2021][2][73][74][83]

**Qué hay dentro de los coágames de sangre?**

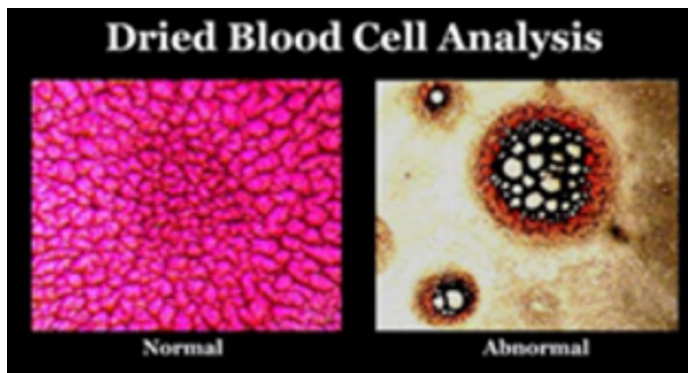


[[Figura 1e vista bajo campo brillante Microscopy un Nanotube y Microtubes de Graphene Oxide en las células sanguíneas Coaguladas Secas o una Cuáquera de Sangre en Adición a Bulges para Parasite Expressed in the Cross-linked Fibrin Monomers Indicando una infección parasitiática del sistema. Dr. Robert O. Young, Hikari Omni Publishing, 2021][2][73][74][83]



[[Figure 1f Visado bajo campo brillante Microscopía un Nanotube , Microtube y Bomba de racimo de oxido de Grafeno reducido o Hydroxide en el celular de sangre secodo o talla de sangre en adición a buleges para parásitos expresados en los monomers de Fibrin Cross-linked que indican una infección sistemática parasitiática. Dr. Robert O. Young, Hikari Omni Publishing, 2021][2][73][74][83]

**Las tragatas normales de células rojas rojas normales están libres de piscinas de proteínas polimerizadas, parásitos y oxido de hierro de grafeno en la izquierda y en la derecha Anormal Unhealthy Red Blood Cell Clot con piscinas polimerizadas de múltiples redojantes de rojo en una sopa de óxido de rGO negro o Graphene**



[La Figura 1g muestra la cocotición normal de sangre en la izquierda y la coagulación de la sangre anormal de la derecha. Tenga en cuenta que el Trama de Sangre Normal contiene ningún Grafeno o oxido de hierro, sin parasúscicos y sin piscinas de proteínas polimerizadas (Círculos Blancos Indicando la Degeneración Celular como se encuentra en el coágulo de sangre a la izquierda. Dr. Robert O. Young, Hikari Omni Publishing, 2012-2021.][2][73][74][74][83][85]

**Cuáles son los Ingredientes no revelados que se encuentran en CoV - 19 Pfizer tan lámedos, Moderna, Astrazeneca y Janssen "Vaccines"?**

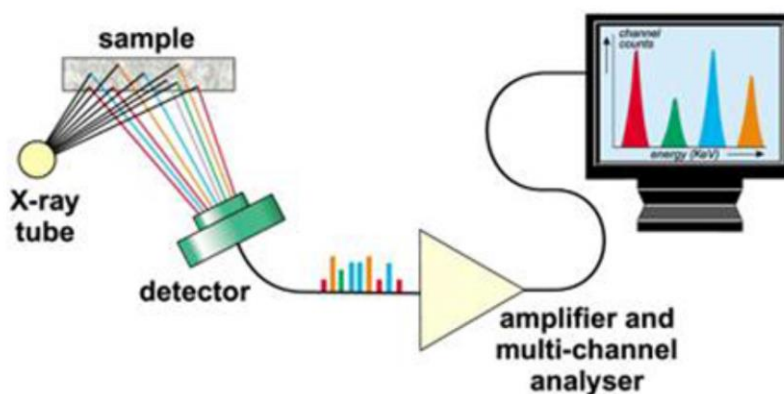
Para responder a esta pregunta, se tomó de cada vial una fracción acuosa de las vacunas Pfizer, Moderna, Astrazeneca y Janssen y luego se observó por separado bajo pHasa Microscopía de contraste a 100x, 600x, 1000x, hasta1500x, que muestra evidencia anatómica de la reducción de Graphene Oxide (rGO) o partículas de Hidroxido de Grafeno que fueron comparadas con micrografías de rGO de Choucair et al, 2009 para la identificación y verificación.[3]

#### Pasos de análisis de las fracturas acuosas de vacunas

Las muestras refrigeradas fueron procesadas en condiciones estériles, usando cámara de flujo laminar y artículos de laboratorio esterilizados.

#### Los pasos para los análisis fueron:

1. Dilución en salina fisiológica estéril 0,45 ml de salina estéril (0,45 ml)
2. Fraccionamiento de polaridad: hexano 1,2 ml de hexano 120 ul de muestra RD1
3. Extracción de pHasa acuosa hidrofílica
4. Absorancia UV y exploración de espectroscopia de fluorescencia



## 5. Extracción y cuantificación del ARN en la muestra

## 6. Microscopía electrónica y óptica de pHasa acuosa



Philips XL 30 Scanning Microscope Electron

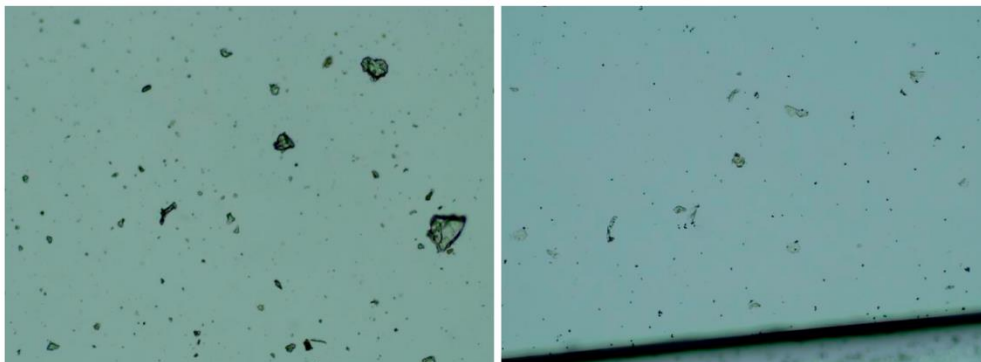
### [1] El Pfizer "Vaccine" Ingredientes no revelados

Las micrográficas de las Figuras 2 y 3 se obtuvieron utilizando 100X, 600X, 1000x y 1500X pHase Contrast, Dark Field y Bright Field Optical Microscopy.[3]

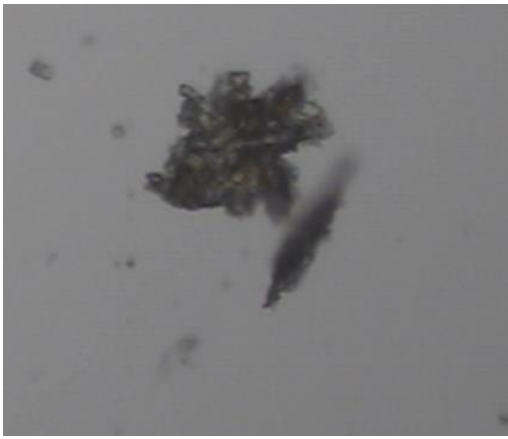
A la izquierda de cada micrografo se visualizarán micrografías obtenidas de la fracción acuosa de la vacuna Pfizer que contiene rGO o Graphene Hydroxide.

A la derecha de cada micrograma se ve una coincidencia de fuentes conocidas que contienen rGO o hidroxilo de grafeno para la validación anatómica

Las observaciones bajo una microscopia de electroacoso, campo oscuro, bicampo oscuro, transmisión y escaneo de microscopía electrónica del producto vacunado por Pfizer, incluyendo Los productos vacunales de Moderna, Astrazeneca y Janssen revelaron algunas entidades que pueden ser tiras de grafeno, cintas y/o tubos y párrs., como se observa a continuación en las Figuras 2 y 3 con puntos de nano lípidos en la Figura 4 que contienen el hidróxido de nano rGO o grafeno y los huevos de parásitos de Trypanosoma.



[La figura 2 muestra una imagen de fraccionamiento acuoso de la muestra de la vacuna Pfizer (izgato) y de la norma reducida de oxido de grafeno (rGO) (derechas) (Sigma-777684). Microscopía óptica, aumento de 1000X]



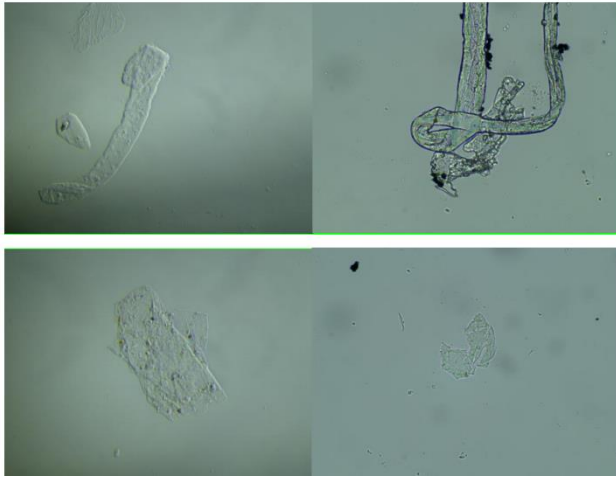
[Figura 2a es una imagen de fracción acuosa de 0,5 ml de la muestra de la vacuna Pfizer vista bajo microscopía de contraste de pHasa a 1000x, mostrando un ssimplast de óxido de grafeno (a la izquierda superior) junto a un parásito de Trypanosoma cruzi (a la derecha inferior). Dr. Robert O. Young, Hikari Omni Publishing, 11 de septiembre de 2021[2][73][83]



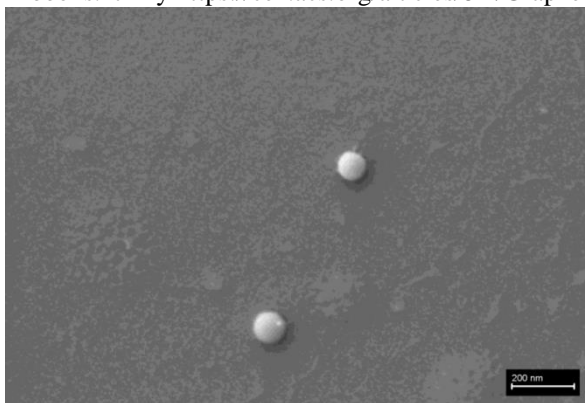
[La figura 2b es una imagen de 0,5 ml de fracción acuosa de la muestra de la vacuna Pfizer vistada bajo microscopía de contraste de pHasa a 1000x, mostrando un splast de óxido de grafeno (a la izquierda superior) y un parásito no identificado (a la derecha). Dr. Robert O. Young, Hikari Omni Publishing, 11 de septiembre de 2021[2][73][83]



[La figura 2c es una imagen de fracción acuosa de 0,5 ml de la muestra de la vacuna Pfizer vista bajo microscopía de contraste de pHasa a 1000x, mostrando una cinta de óxido de grafeno. Dr. Robert O. Young, Hikari Omni Publishing, 11 de septiembre de 2021[2][9][73][74][83]]



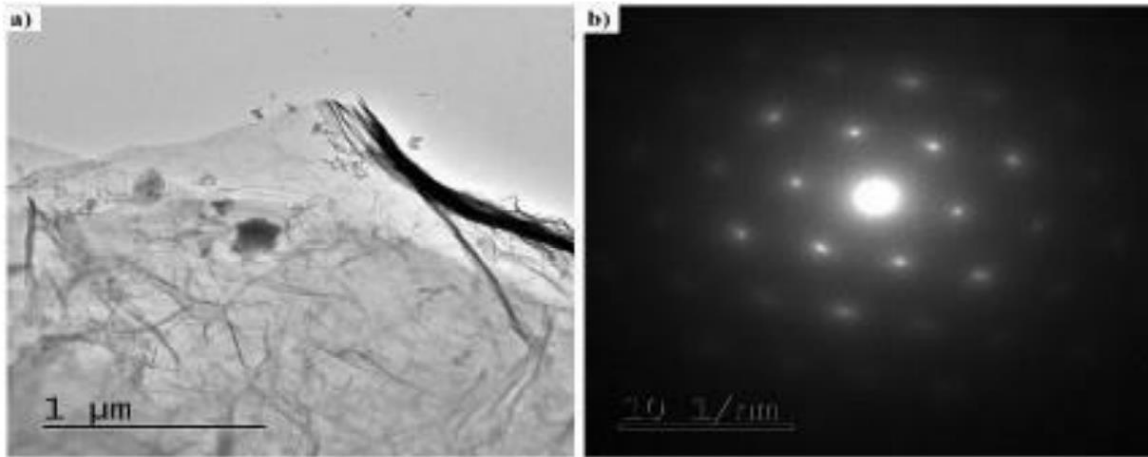
[Figura 3 - Imágenes de fraccionamiento acuoso que contienen óxido de grafeno reducido de la muestra de la vacuna Pfizer (izcón) y norma sonicada de óxido de grafeno reducido (rGO) (derechas) (Sigma-777684). Microscopía de contraste de pHasa óptica, aumento 600X. Además, el Muestra RD1, El Informe de la Quinta Columna, 28 de junio de 2021; Graphene Oxide Detection in Aqueous Suspension; Delgado Martin, Campra Madrid confirma nuestros hallazgos. <https://cen.acs.org/articles/86/i4/Graphene-Ribbons.html> y <https://cen.acs.org/articles/8i4/Graphene-Ribbons>. [4][73] [83]



[La Figura 4 muestra el lipooma Capsid que contiene rGO que Pfizer utiliza para su producto para vehicular el óxido de grafeno mediante la fijación del capsido Lipooma a moléculas de ARNm específicas para conducir el contenido de Liposome de fGO a órganos, glándulas y tejidos específicos, a saber, los ovarios y pruebas, la médula ósea, el corazón y el cerebro. La imagen fue obtenida mediante una preparación SEM-Cryo.[83]]

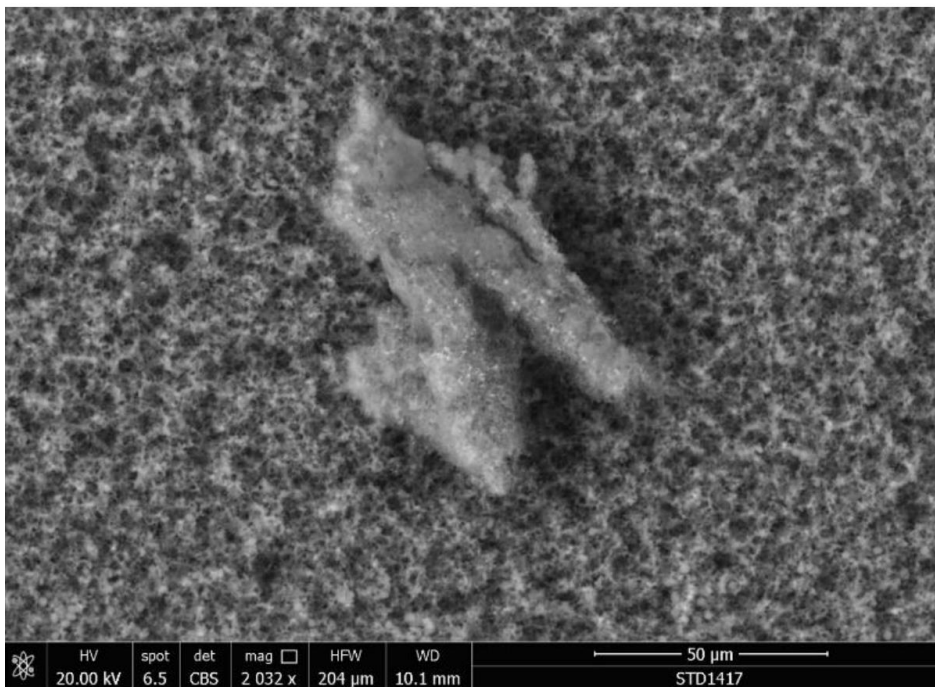
**Para una identificación definitiva del grafeno por Microscopía de Electrones Transmission (TEM), es necesario complementar la observación con la caracterización estructural mediante la obtención de una muestra estándar de difracción electrónica característica (como se ve en la figura 'b' que se muestra a continuación).[4]**

**La muestra estándar correspondiente al grafito o grafeno tiene una simetría hexagonal, y generalmente tiene varios hexágonos concéntricos.**



[Figura 4b revela el patrón de la raya X del Patrón de las Partículas Grafeno. Matéria (Río J.) 23 (1) , 2018. Caracterización de las nanoláminas Reducidas de Graphene Oxido o Graphene Hydroxide obtenida por el método de Hummer modificado. Renata Hack et al. [4][73][74][83]]

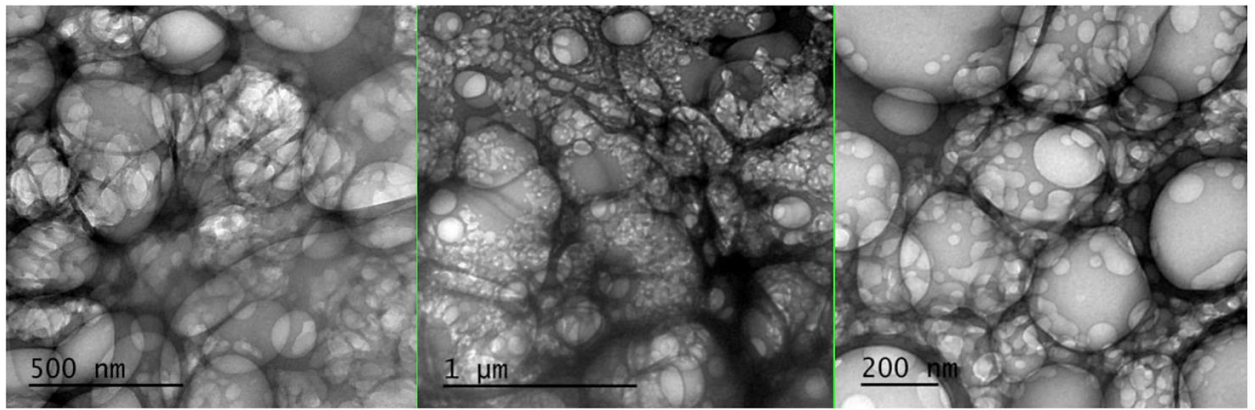
Utilizando Scanning Electron (SEM) observamos una intrinada matriz o malla de hojas de rGO flexible translúcido o Graphene Hydroxide con una mezcla de aglomeraciones multicapa más oscuras y colores más claros de monocapas desplegadas como se ve en



[La figura 5 muestra un cúmulo de óxido de grafeno reducido o nanopartículas de hidróxido de grafeno en una vacuna Pfizer. Parecen estar agregadas.[83]]

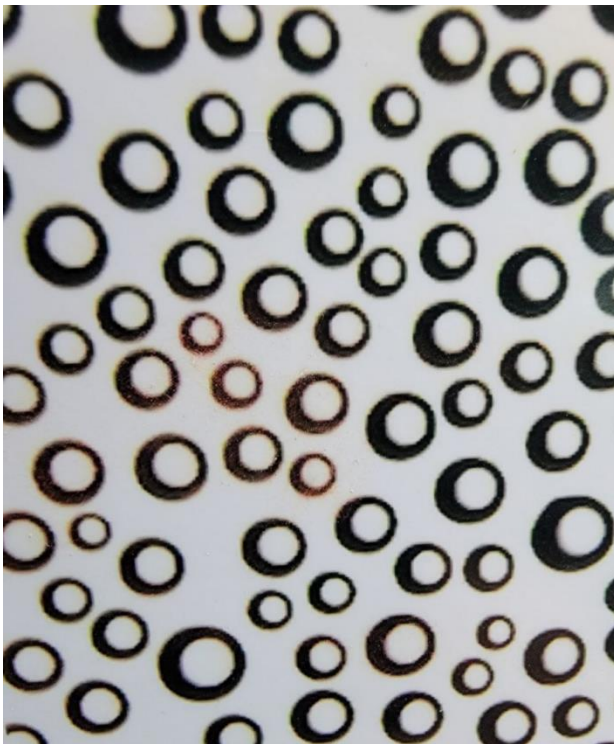
Las áreas lineales más oscuras de la **Figura 5** parecen ser superposición local de hojas y disposición local de hojas individuales en paralelo al haz de electrones.[5]

Después de la malla, aparece una alta densidad de formas claras redondeadas y elípticas no identificadas, posiblemente correspondientes a agujeros generados por forzamiento mecánico de la malla rGO o Graphene Hydroxide durante el tratamiento, según se observa en [4][5]



[La figura 6 muestra una observación de microscopía TEM donde están presentes partículas de óxido de grafeno reducido o hidróxido de grafeno en un Pfizer "vaccine". La difracción de rayos X revela su naturaleza de nanopartículas cristalinas basadas en carbono de rGO. Esta evidencia fue encontrada inicialmente por Muestra RD1, y publicada en el Informe de La Quinta Columna, 28 de junio de 2021; Detecte de óxido de Grafeno Reducido en Suspensión Acuosa; Delgado Martín, Campra Madrid y . [4][8][73][74][83]]

#### [Burbujas de grafeno observadas en](#)



[Figura 6a Revels Graphene Bubbles encontrados en el Pfizer y Moderna So-Called CoVid - 19 Vacunas vistas Bajo pHasa Microscopía de contraste a 1000x Magnificación. Derechos de Autor Dr. Robert O. Young, Hikari Omni Publishing, 10 de marzo de 2022.

#### [Autoensamble Graphene Bubbles enlazados juntos en la CoVid - 19 Vacunad Sangre Vacunado en Vacunados](#)



La Figura 6b revela las burbujas de grafenos autoensambosadas en el Pfizer y Moderna So-Called CoVid - 19 Vacunas observadas bajo la microscopía TEMS. La Diffractometry de rayos X revela su naturaleza de nanopículas basadas en carbono de la RGO -. Derechos de Autor Dr. Robert O. Young, Hikari Omni Publishing, 10 de marzo de 2022

**[Burbujas de grafeno, hilos de grafeno, óxido de Ferritin y Heinz o Hemaglobin Chelated Graphene como se observa en la CoVid - 19 Vacunados Sin cambios sangre en vivo](#)**

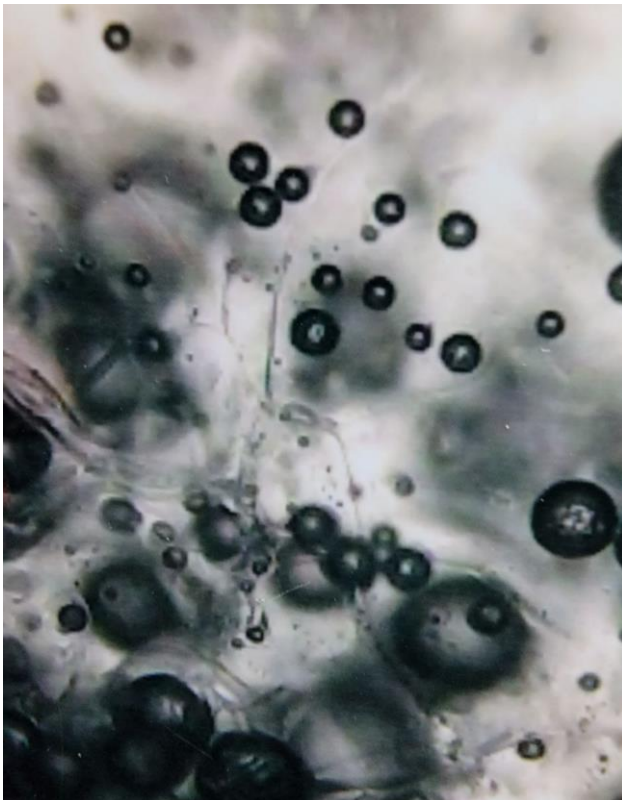


Figura 6c Revelas Graphene Nano and Micron Bubbles, Graphene Threads, Graphene Ribbons y Black Red Blood Cells or Heinz Bodies observado Bajo pH Contrast Contrast Live Blood Blood en la Sangre sin Cambio Desalterado de un Disminuido de 56 años Maleulado con la Vigación Impulsada Pfizer Boosted - 19 So-Called Vaccine. La diffractometría de rayos X revela la naturaleza de Nano y Micron Particulados de Grafeno - Copyright Dr. Robert O. Young, Hikari Omni Publishing, 10 de marzo de 2022

**La Respuesta Inmune a los ácidos dietéticos, metabólicos, ambientales y respiratorios que incluyen micro y no inocuos inocuos Particulados de "Vacuna" tan...**

**El cristal de sangre de naranja brillante debajo es ácido úrico solidificado visto a 1200x en la sangre humana por la ingestión de una dieta alta en proteínas de la carne animal, la sangre y los fluidos intersticiales. Usted notará que hay varios neutrófilos tratando de limpiar y eliminar esta masa tóxica. Este es el púrpura principal o se de los glóbulos blancos que es manejar y mantener el delicado equilibrio de pH alcalino de los fluidos corporales.**

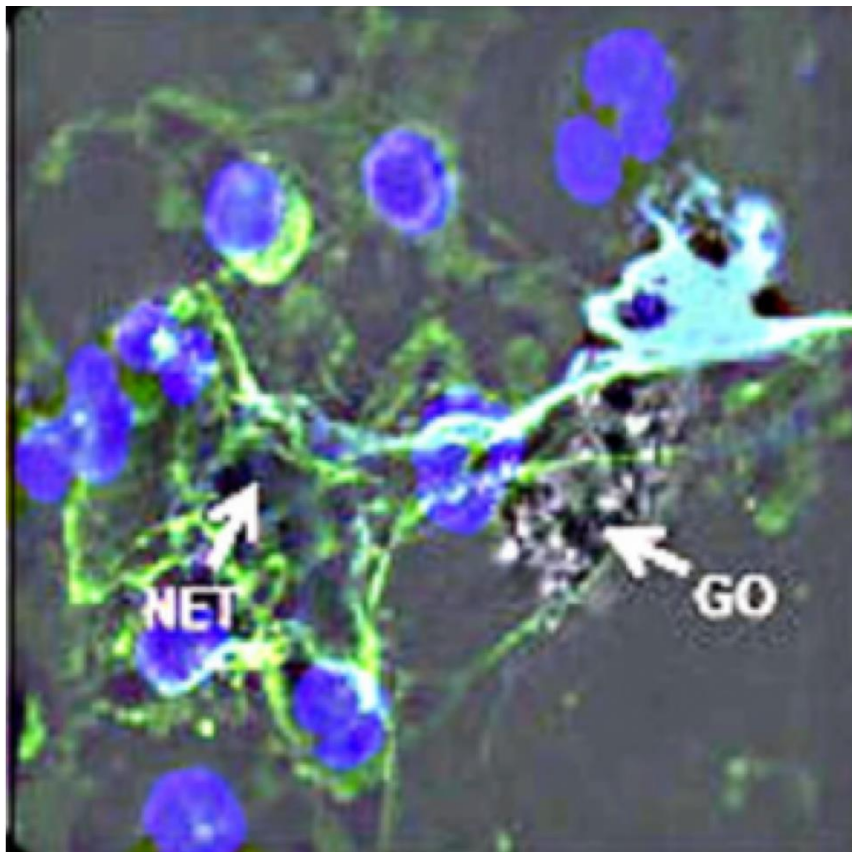
**Mientras ve el video de arriba ves dos neutrófilos (neutrófilos conforman 2/3a del conteo total de sangre blanca) nadando a través del plasma sanguíneo. El neutrófilo de la izquierda se mueve hacia abajo para recoger una transformación biológica de una levadura de forma Y, como Candida albicans. En aproximadamente un minuto verás al neutrófilo expulsar esta levadura altamente tóxica de forma Y de vuelta al plasma sanguíneo.[<https://youtu.be/yKONi-hDsfE> Dr. Robert O. Jóvenes - Perfiles en Microscopía Médica, Hikari Omni Publishing, 1987- 2021]**



[Dos neutrófilos resuenando a través de la placa de sangre recogiendo patógenos o levaduras biológicas de bacterias y levadura de Degeneración Celular de Lo Uso a las Células del Cuerpo Saludadas. Dr. Robert O. Jóvenes - Perfiles en Microscopía Médica, Hikari Omni Publishing, 1987- 2021]

**Esta es la función principal de los neutrófilos para recoger micro y nano partículas orgánicas y no orgánicas, como ácido láctico, ácido úrico, bacterias, levadura, moho e incluso óxido de grafeno o hidróxido de grafeno incluso reducido como se ve en el micrografo siguiente etiquetado GO a la derecha y un neutrófilo etiquetado NET a la izquierda.**

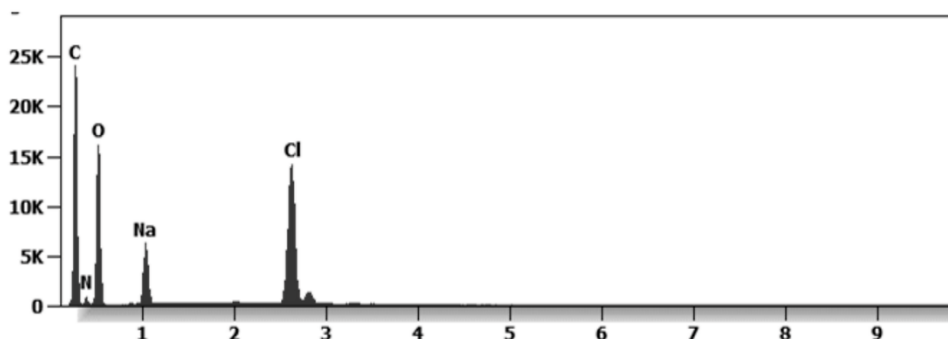
**Una vez más, los neutrófilos son glóbulos blancos que intentan aislar y luego recoger y eliminar el óxido de grafeno reducido o hidróxido de grafeno, un patógeno ácido tóxico que se encontró en todo CoV - 2 - 19 llamadas "vacunas" como se ve en la micrografiada de microscopía del Campo Oscuro a continuación a 1200x de aumento.**



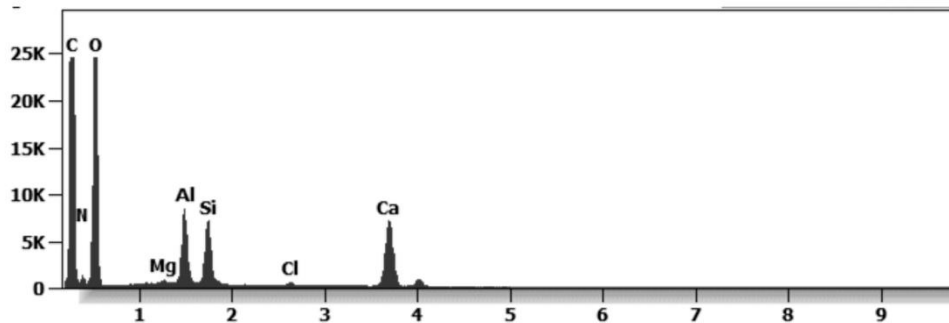
[La micrografía anterior muestra el óxido de grafeno reducido (rGO) y la intoxicación y destrucción de los neutrófilos (NET - que constituyen más del 60 por ciento de todos los glóbulos blancos) que están diseñados para recoger y eliminar residuos químicos tóxicos y biológicos extraños. Científicos del Instituto Karolinska, la Universidad de Manchester, la Universidad Tecnológica de Chalmers y el Equipo Científico del Dr. Robert O. Los jóvenes han demostrado que el sistema inmunitario humano maneja el óxido de grafeno de la misma manera que las bacterias, la levadura o el moho.[83]]

**Espectroscopia de rayos X de energía (EDS) revela rGO o Hidroxido de Grafeno en Vacuna Pfizer[5][6][7]**

La fracción líquida de la vacuna Pfizer fue analizada para obtener contenido químico y elemental mediante espectroscopia de rayos X Dispersiva (SED) como se ve en la Figura 6. El espectro EDS mostró la presencia de Carbono, Oxígeno verificando los elementos de hidróxido de rGO o grafeno y Sodium and Chloride desde la muestra muestra mostramos en las Figuras 2, 3, 5, 6, 7 y 7a se diluyó en una solución salina.



[La Figura 7 muestra un espectro de un Pfizer-vaccine" bajo una microscopía de ESEM junto con una microsonda de rayos X EDS (eje X =KeV, eje Y = Conteos) identificando Carbono, Oxígeno, Sodium y Chloride. [83]]



[La Figura 7a muestra el espectro de un nanoparticular de Pfizer" de óxido de grafeno reducido o hidróxido de grafeno, magnesio, aluminio, silicio, cloruro y calcio identificado bajo un microscopio ESEM junto con una microsonda de rayos X EDS. (Eje X =KeV, eje Y = Conteos)[75][83]]

### La cuantificación del ARNm en la vacuna Pfizer

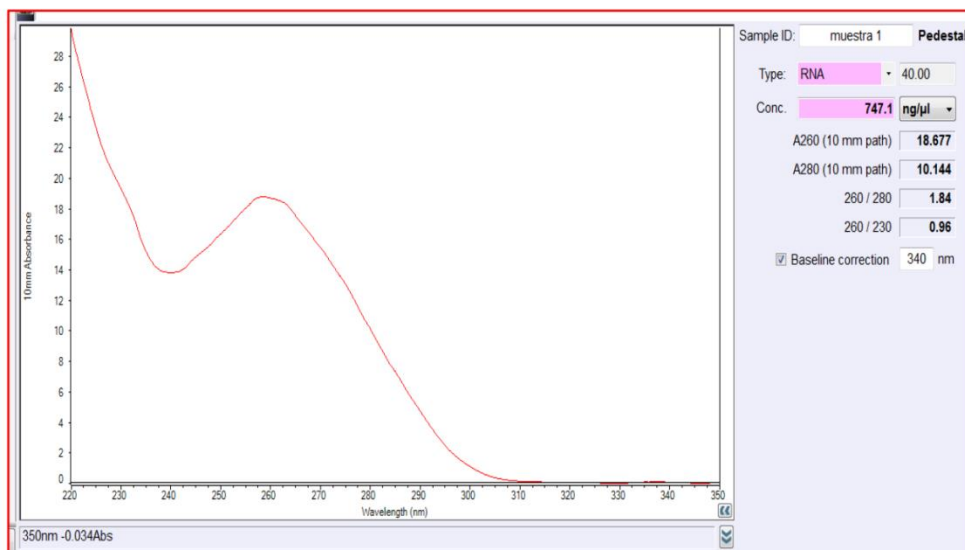
La cuantificación del ARN en la muestra de Pfizer se llevó a cabo con protocolos convencionales (Fisher).

Según el software específico de control de calibración de espectrofotómetro NanoDrop™ 2000 (Thermofisher), el espectro de absorción UV de la fracción acuosa total se correlacionó con 747 ng/ul de sustancias absorbentes desconocidas.

Sin embargo, después de la extracción de ARN con kit comercial (Thermofisher), la cuantificación con la sonda de fluorescencia Qbit específica (Thermofisher) mostró que sólo 6 ng/ul podría estar relacionado con la presencia de ARN. El espectro era compatible con el pico de rGO a 270nm.

Según imágenes microscópicas presentadas aquí, la mayor parte de esta absorbancia podría deberse a láminas similares al grafeno, abundantes en la suspensión de fluidos en la muestra.

Las conclusiones se apoyan además en alta fluorescencia de la muestra con un máximo de 340 nm, de acuerdo con los valores máximos de rGO. Cabe recordar que el ARN no muestra fluorescencia espontánea bajo la exposición UV.

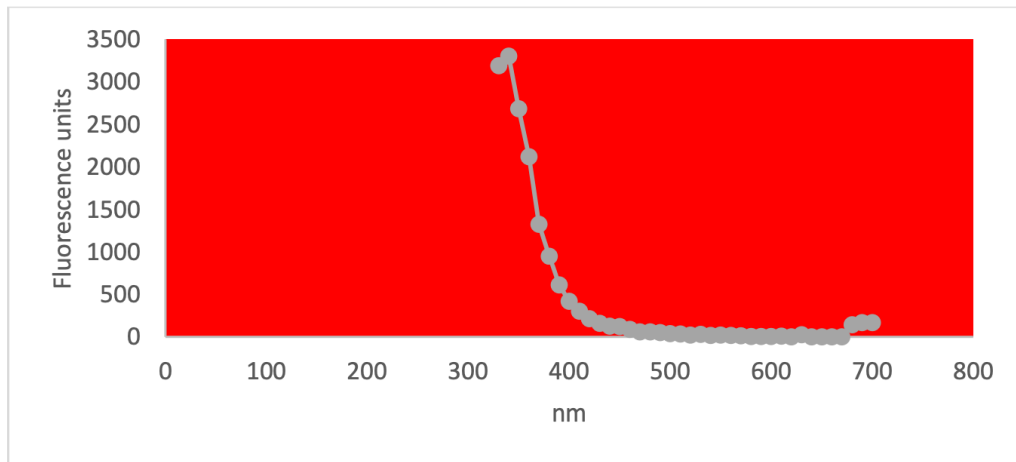


[Figura 8 - Espectro UV de la fracción acuosa de la muestra de la vacuna Pfizer.[1][2][3][3][3][83]]

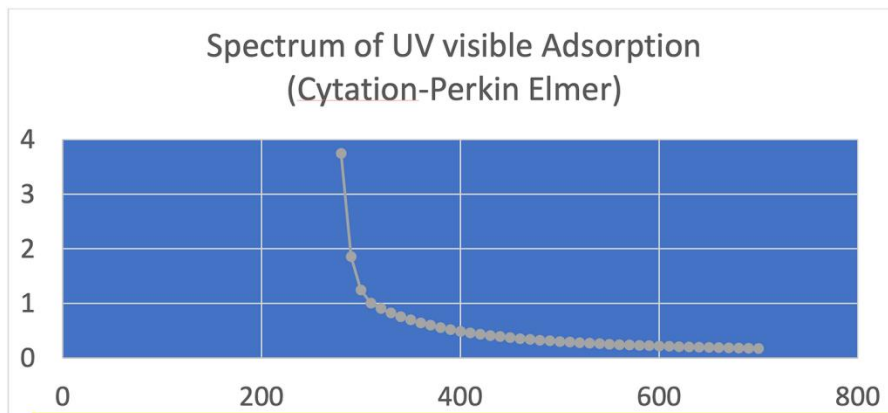
### Pruebas de fluorescencia ultra Violet del Fracción Acuosa Pfizer para el oxido de grafeno reducido o oxido de grafeno o Grafeno (rGO)[6]

Los espectros de absorción y fluorescencia de Ultra Violet se obtuvieron con Cytation 5 Cell Imaging Multi-Mode Reader Spectrophotometer (Biotek). El espectro de absorción UV confirmó un máximo de 270nm, compatible con la presencia de partículas rGO.

El de



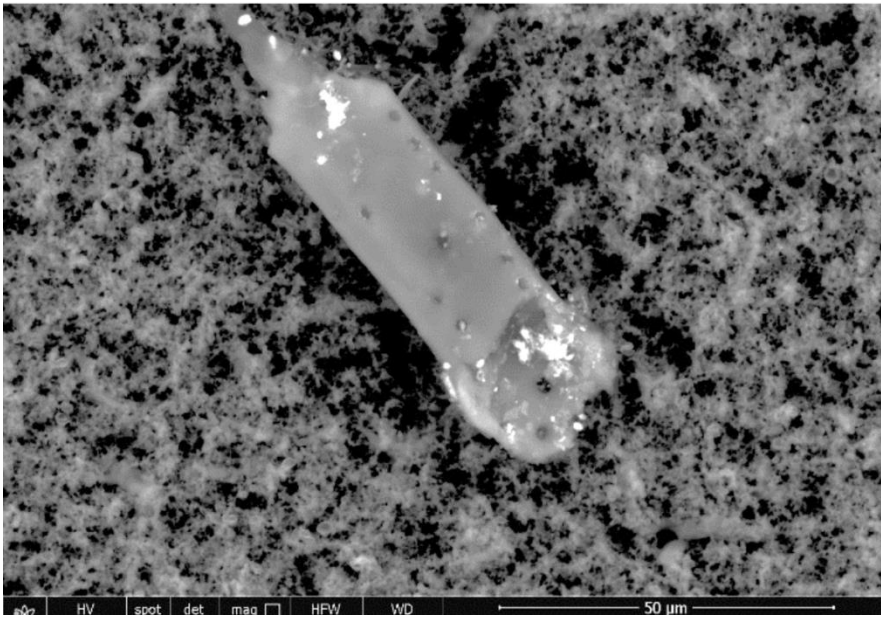
[Figura 9 - Espectros de absorción y fluorescencia UV se obtuvieron con Cytation 5 Cell Imaging Multi-Mode Reader Spectrophotometer (Biotek). El espectro de absorción UV confirmó un pico máximo de 270 nm, compatible con la presencia de rGO. El máximo de fluorescencia UV a 340 nm sugiere también la presencia de cantidades significativas de rGO en la muestra (Bano et al, 2019).]



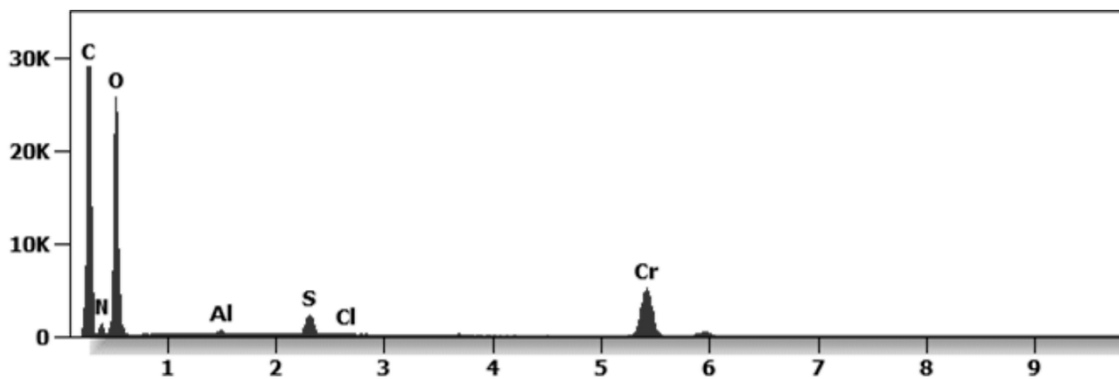
The spectrum is compatible with the peak of reduced Graphene oxide at 270nm

[Figura 10 - El análisis UV espectroscopia mostró una adsorción debido a la presencia de óxido de grafeno reducido o hidróxido de grafeno, que se confirma mediante observación bajo microscopía visible ultravioleta.]

**Las figuras 11 y 12** muestran una micrografía de diferentes partículas micro y nano que han sido identificadas en el Pfizer, Moderna, Astrazeneca y Janssen, llamada "vaccines" y analizadas bajo un Microscopio de Electrones de Escaneo Ambiental (SEM) junto con una microsonda de rayos X de un espectro dispersivo de energía (EDS) que revela el [tamaño del artículo p](#), [la distribución](#) y la naturaleza química de las micro y nanomáquinas observadas bajo observación.[6][7][83][83][84]



[La Figura 11 muestra escombros afilados de micron de 20 pulidos de longitud identificados en el Pfizer llamado "vaccine" que contiene Carbon, Oxígeno Chromium, Sulphur, Aluminio, Cloruro, Nitrógeno.[75][83]]

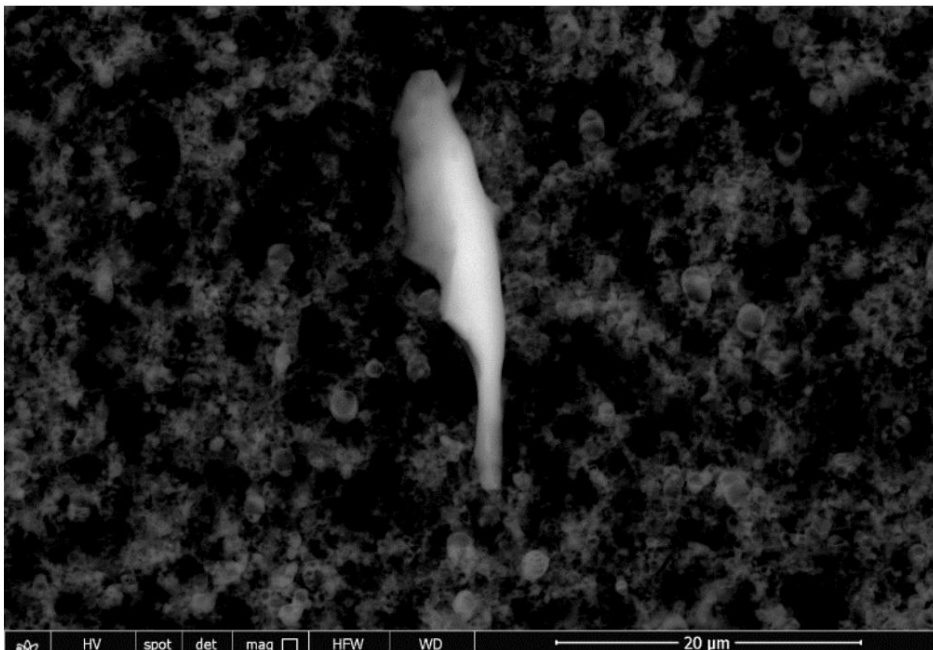


[La figura 12 muestra una partícula de 20 micras de longitud identificada en el llamado Pfizer. Está compuesto de carbono, oxígeno, cromo, azufre, aluminio, cloruro y nitrógeno.[75][83]]

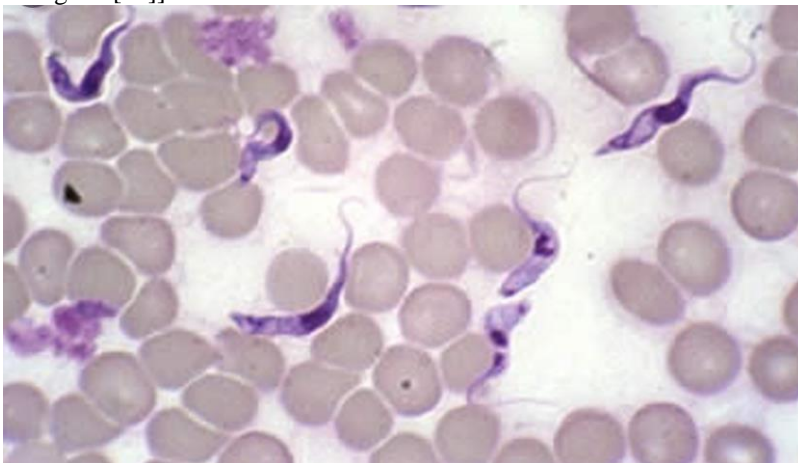
**Las figuras 13 y 14 de ellas muestran un microfóico de diferentes micro y nanómetros que se han identificado en el Pfizer, Moderna, Astrazeneca y Janssen, los llamados "vaccines" y analizados bajo un microscopio electrónico de exploración ambiental (SEM) junto con una microsonda de rayos X de un espectro dispersivo de energía (EDS) que revela el [tamaño del artículo p. la composición](#) y la naturaleza química de las micro y nanométricas observadas en observación.**

**Hay Parasíparicos en las "Vaccines" de Pfizer?**

**Un cuerpo alargado de 50 micras, como se ve en la Figura 13 es una presencia misteriosa aguda en la vacuna Pfizer. Aparece y se identifica anatómicamente como un *parásito de Trypanosoma cruzi del cual varias variantes son letales y es una de las muchas causas del síndrome de deficiencia inmune adquirida o SIDA*. [Atlas de Parasitología Humana, 4a Edición, Lawrence Ash y Thomas Oriethel, páginas 174 a 178][83]**

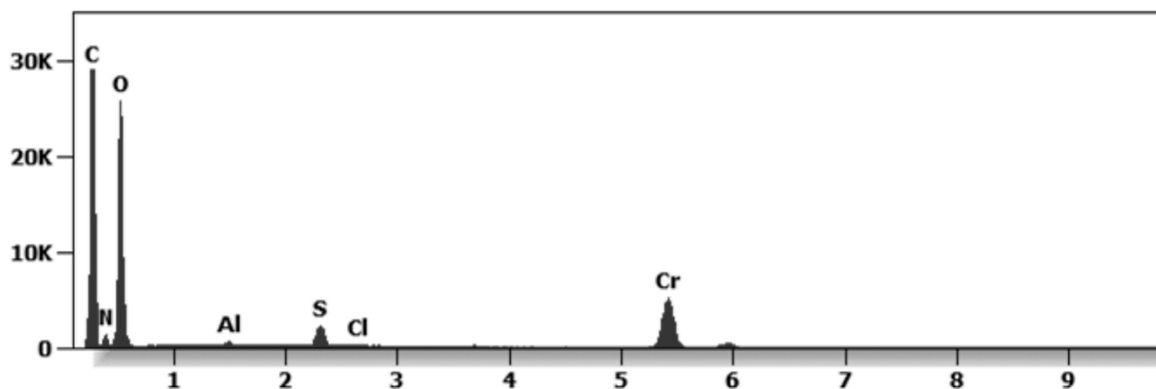


[La Figura 13 muestra un Parasite Trypanosoma aproximadamente 50 micras de longitud que se encuentra en el llamado Pfizer. Se compone de carbono, cromo de oxígeno, azufre, aluminio, cloruro y nitrógeno.[83]]



[La Figura 13a muestra una Micrografía de Microscopía de Trypanosoma cruzi en vivo pHase pHaseo de la micrografía de Trypanosoma cruzi. [9][83]]

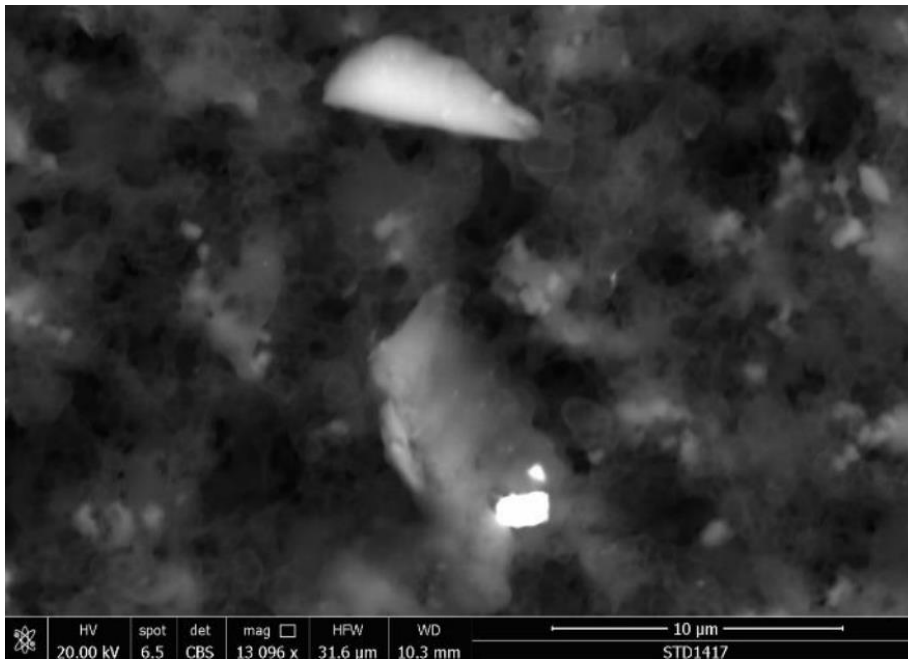
**En la figura 14 se identifica una composición de nanomartarticles incluyendo carbono, cromo de oxígeno, azufre, aluminio, cloruro y nitrógeno también encontrados en las "vaccines" de CoV-19.**



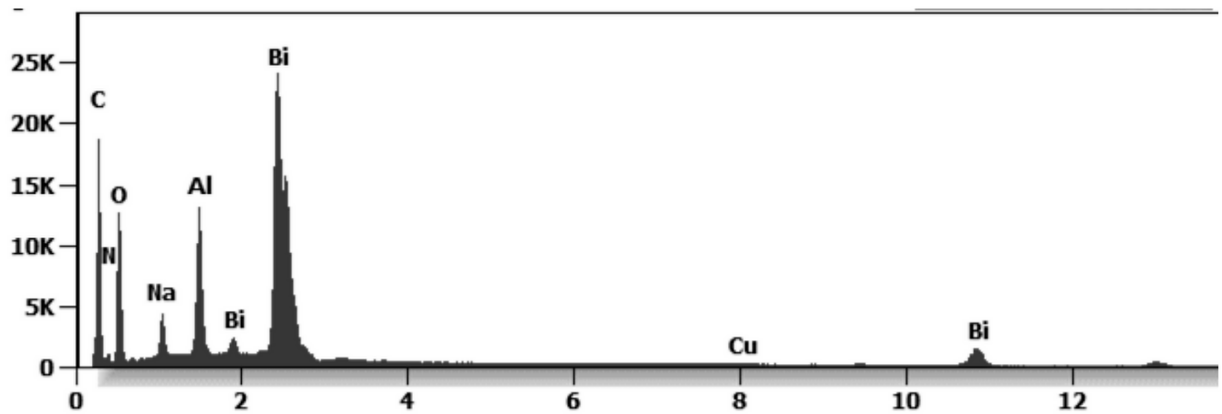
[Figura 14 Identifica un Composite de partículas de Nano.[75][83]]

**Las Figuras 15 y 16 muestran una micrografía de diferentes micro y nanomágenes que han sido identificadas y analizadas bajo un Microscopio de Electrones de Escaneo Ambiental (SEM) junto**

con una nanosonda usando Espectroscopia de rayos X Dispersivos de Energía (EDS). (Las partículas blancas de 2 micras de largo se componen de bismuto, carbono, oxígeno, aluminio, sodio, cobre y nitrógeno.[75][76][83])

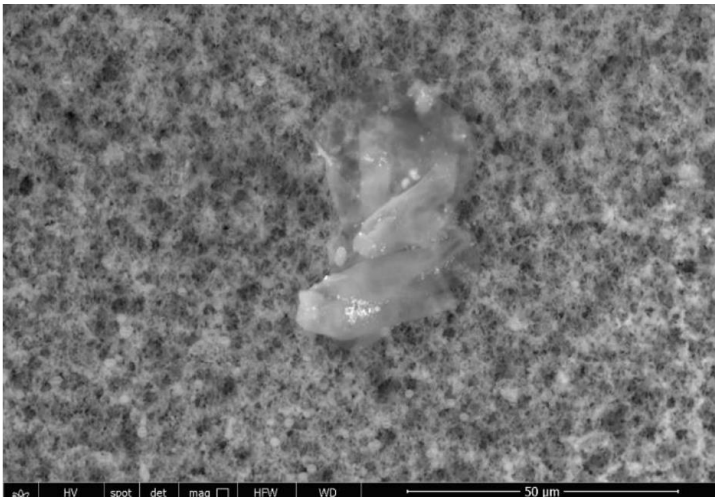


[La figura 15 muestra partículas nano y micron identificadas en el Pfizer. Las partículas blancas de 2 micron de largo se componen de bismuto, carbono, oxígeno, aluminio, sodio, cobre y nitrógeno.[75][76][83]]

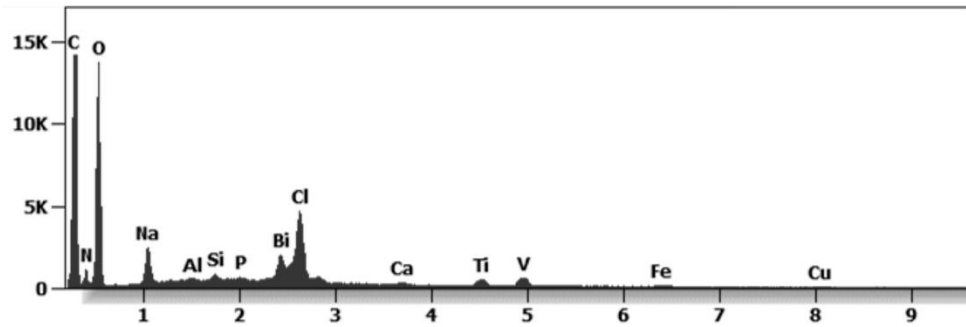


[La figura 16 muestra que las partículas blancas de 2 micras encontradas en la llamada 'vacuna' de Pfizer se componen de bismuto, carbono, oxígeno, aluminio, sodio, cobre y nitrógeno.[75][76][84]]

**Las figuras 17 y 18** muestran la identificación de partículas orgánicas de carbono, oxígeno y nitrógeno con un agregado de nanopartículas incrustadas incluyendo bismuto, titanio, vanadio, hierro, cobre, silicio y aluminio que se encontraron en el llamado Pfizer.[75][76][83][84][84]



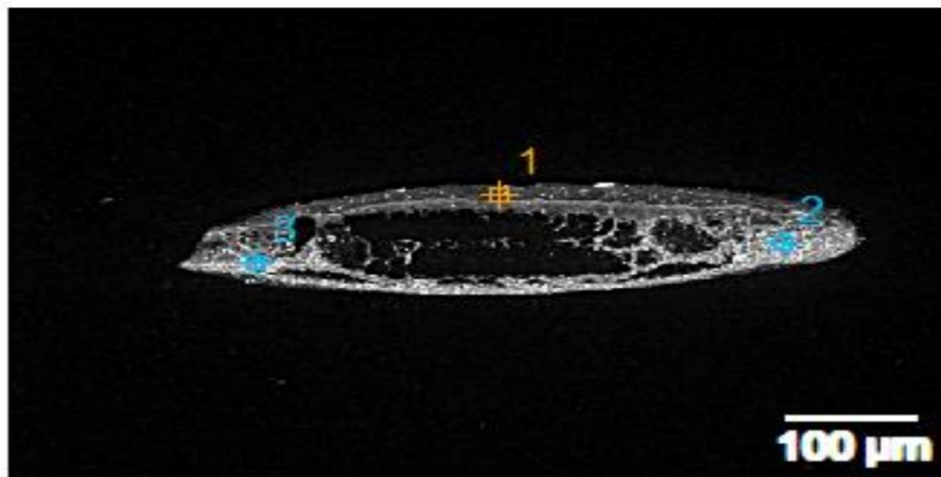
[Figura 17 - muestra un agregado orgánico (Carbon-Oxygen-Nitrogen) con nanopartículas incrustadas de bismuto, titanio, vanadium, hierro, cobre, silicio, aluminio incrustado en Pfizer.



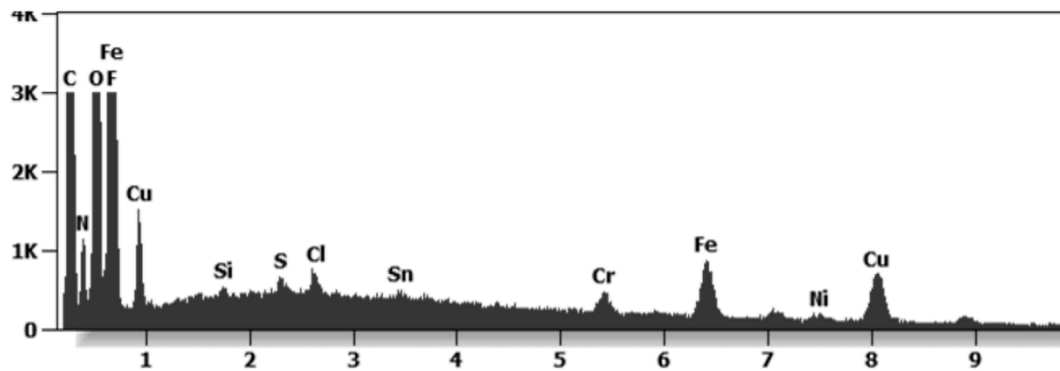
[Figura 18 - muestra un agregado orgánico (Carbon-Oxygen-Nitrogen) con nanopartículas incrustadas de bismuto, titanio, de hierro, cobre, silicio, aluminio incrustado en Pfizer.

## [2] La AstraZeneca "Vaccine" Ingredientes no revelados

**Las figuras 19 y 20 muestran un agregado de hierro, cromo y níquel también conocido como acero inoxidable de micro y nanopartículas incrustados e identificados en la AstraZeneca. Energy Dispersive Spectroscopy System ( that reveals the chemical nature of the observed micro and nano particulates and their morphology.**



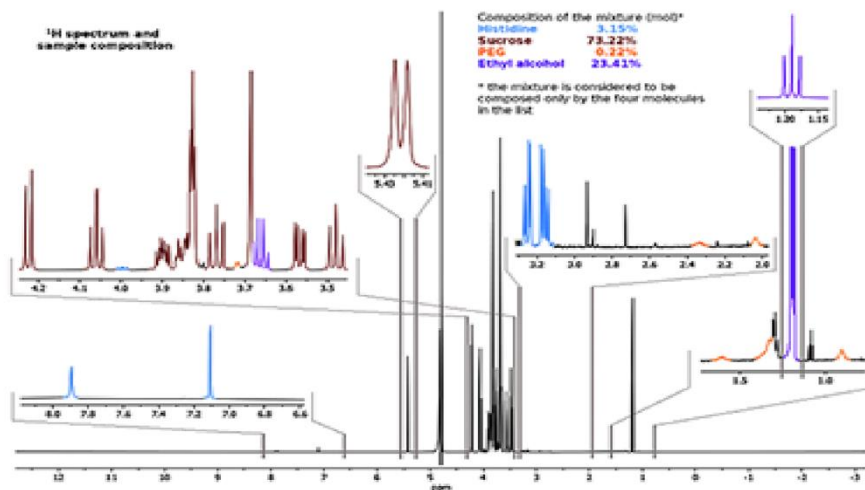
[Figura 19 - Agregado de hierro, cromo y níquel también conocido como acero inoxidable.[75][83]]



[La Figura 20 muestra las nanomámículas cuantificadas en la "vacuna" de Astrazeneca con una microsonda de rayos X de un sistema Dispersivo de Energía que revela la naturaleza química de las micro y nano partículas observadas.[75][76][83]]

El instrumento XRF (Lorecencia de rayos X) se utilizó para evaluar a los adyants en la "vacuna" de Astrazeneca, que identificó las siguientes moléculas de histidina, sacarosa, polietilenglicol (PEG) y alcohol de etileno, también contenida en las "vacunas" de Pfizer y Moderna. Los resultados de esta prueba se pueden observar en la Figura 20.[10][83]

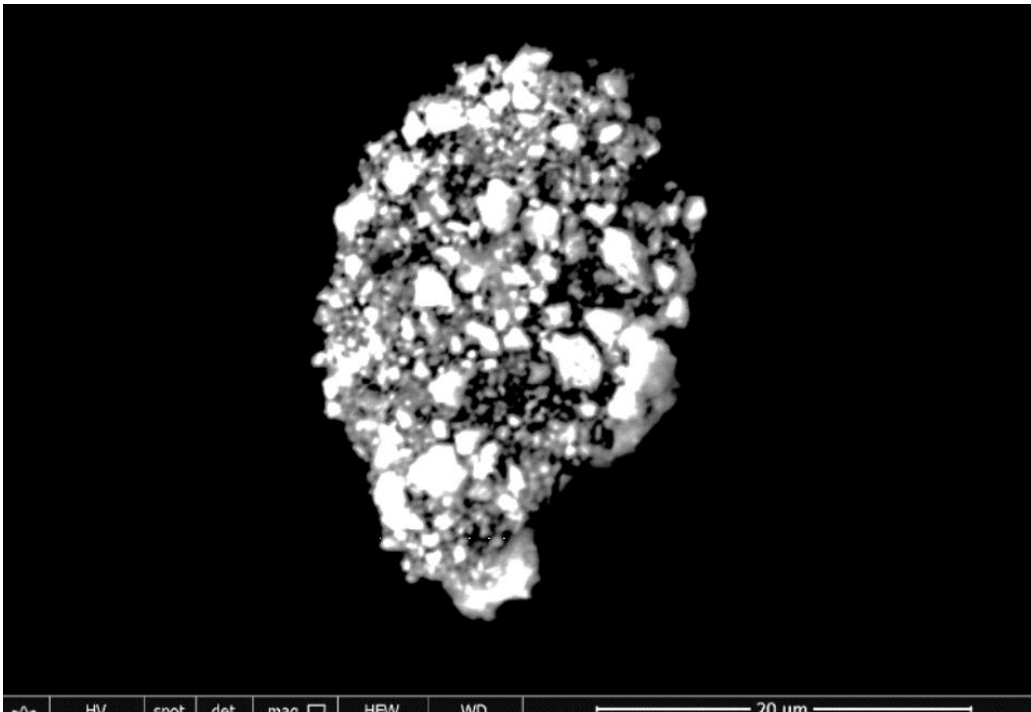
La inyección de PEG y alcohol Ethylene se conoce como cancerígeno y genotóxico.[10][83] PEG fue el único adyante declarado en la hoja de datos que enumera los ingredientes de la Astrazeneca "vaccines", pero también contenida en las de Pfizer y Moderna



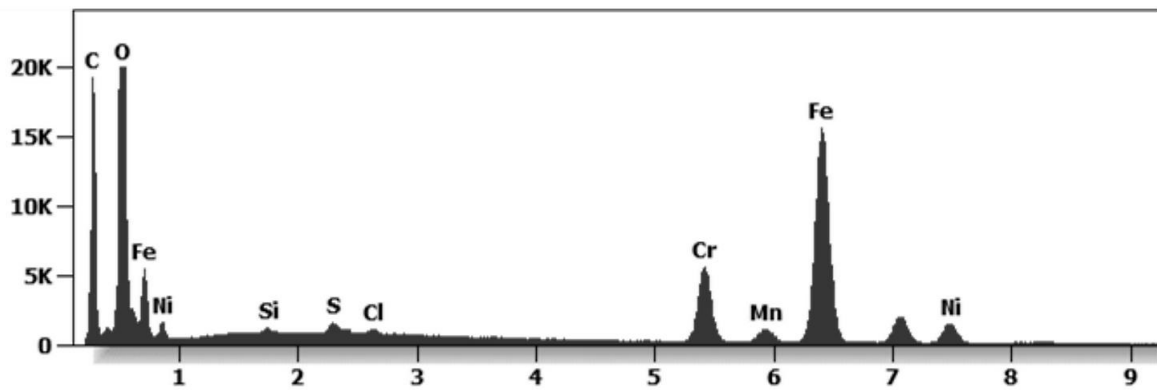
[Figura 21 Identifica el Espectro de Adyvantios de Vacuna AstraZeneca. Se utilizan diferentes colores para las cuatro moléculas identificado por medio de espectros de referencia. La concentración relativa se calcula sobre la forma parte integral de señales de referencia para moléculas en un espectro cuantitativo adquirido con un ciclo de trabajo de 5 segundos con la T1 calculada más larga fue de 5 segundos.]

### [3] Los "Vacuna" de Janssen "Vaccine" Ingredientes no revelados

Las figuras 22 y 23 muestran un agregado orgánico-inorgánico identificado en el Janssen. Las partículas están compuestas de acero inoxidable y están pegadas junto con un pegamento a base de carbono de óxido de grafeno reducido.[11] Este agregado es altamente magnético y puede desencadenar la coagulación patológica de la sangre y la creación de "Efecto Corona" o "El Efecto de la Proteína de Spike" a partir de la degeneración de la membrana celular debido a interacciones con otros dipolos.[11] Puedes ver estas reacciones biológicas o transformaciones celulares en la sangre viva bajo pHasa Contrastal y Microscopía de Campo Oscuro en las Figuras 24, 25 y 26.[1][12]



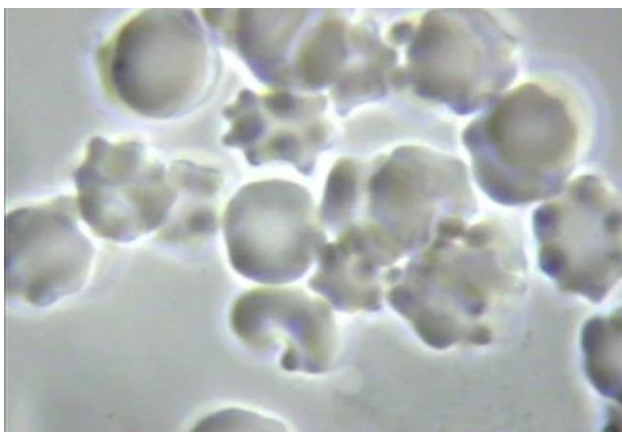
[Figura 22 A A Stainless Steel Aggregation of Carbon , Oxygen, Iron and Nickel Held Together With Reduced Graphene Oxide or Graphene Hydroxide.[75][83]



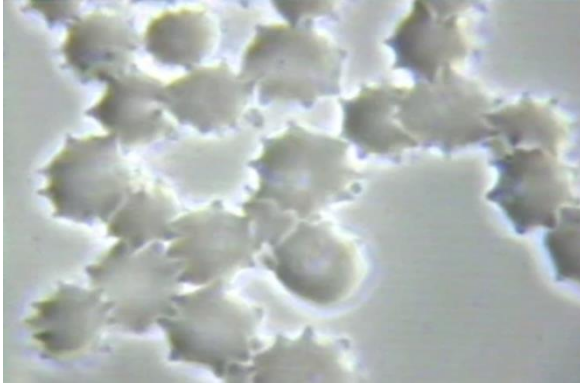
[Figura 23 Muestra Elementos de Carbono, Oxígeno, Hierro y Nickel retenidos juntos con óxido de grafeno reducido.[75][83]

### El efecto de la proteína Corona Effect y Spike

El Endogen "Efecto de la corona" y "Proteína de espigada" se han causado por envenenamiento químico, parasitario y de radiación de oxido de Grafeno reducido o hidroxide de Grafeno y Microondas y Radiación de Microondas[12][82][83]



[Figura 24 "El Efecto Corona" y la Creación Endógena de Exosomas Debido a la envenenamiento químico y de radiación de los fluidos vasculares y intersticiales del Interstitium. Dr. Robert O. Young, Hikari Omni Publishing, 1987-2021. [83]]



[Figura 25 Muestra "El Efecto Corona" y el Nacimiento Endógeno de S1 Protein Spikes Caused by Radiation and Chemical Poisoning or What I Call the "Protein Spiking Effect". Dr. Robert O. Young, Hikari Omni Publishing, 1987-2021. [83]]



[Figura 26 Esta Micrográfica muestra el Nacimiento endógeno de la "Proteína de Espike" como una infección y NO y la infección. Dr. Robert O. Young, Hikari Omni Publishing , 1987-2021,[83]]

**Videos de sangre 1 de 4 - La sangre de un varón de 55 años de edad con cáncer de cerebro metastásico - RTPCR CoV -19 Posigún**

[La figura 26a muestra la sangre de un varón de 55 años con cáncer cerebral diagnosticado y METS al pulmón, vesícula biliar y sangre. También RTPCR dio positivo para CoVid-2 rebautizado como CoVid-19. Tenga en cuenta el glóbulo rojo que muestra el "efecto Corona" a la izquierda del neutrófilo. Los neutrófilos constituyen 2/3a del recuento total de glóbulos blancos. Son los recolectores de basura y purificadores de la sangre.][83]

[La Figura 26b muestra la sangre en vivo vista bajo microscopía de contraste de pHasa a 1000x más aumento que muestra la transformación biológica de los glóbulos rojos al dar a luz a la "proteína espigada" y la coronación de sus membranas celulares, llapo al "efecto Corona".][83]

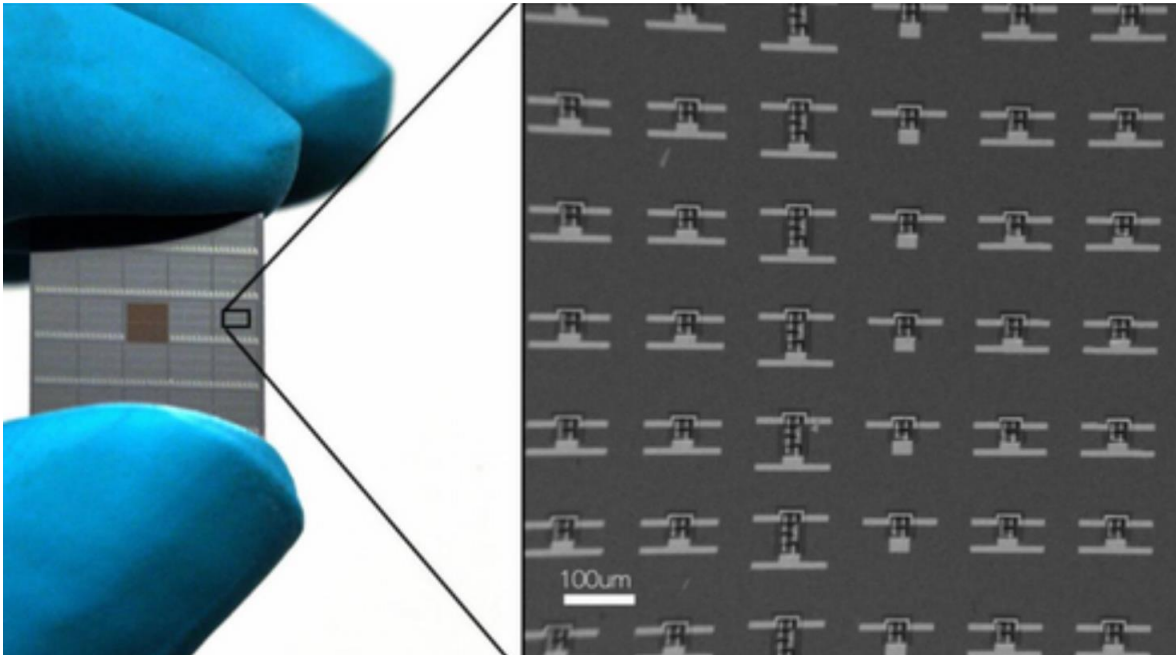
[La figura 26c muestra un neutrófilo granulocítico o los glóbulos blancos dominantes que eliminan los residuos celulares de los fluidos vasculares. Esto no es inmunidad sino un neutrófilo que limpia

los fluidos vasculares de los desechos celulares de células corporales, alimentos y mirco ambiental y nano partículas tales como aluminio, grafeno, titanio, cobre, hierro, etc.][83]

[Figura 26d verás la evidencia visual del 'Efecto de la Colón' de los glóbulos rojos que NO es una condición infecciosa viral pero una condición de estilo de vida ácido degenerativa de las membranas celulares degenerando debido a una bioquímica ácida de líquido intersticial, un campo electromagnético ácido y un ambiente privado de oxígeno][83]

Las figuras 24 y 25 anteriores muestran 'El EFECTO CORONA' en los glóbulos rojos con las figuras 26 y 26a a 26d mostrando 'El EFFECT PROTEIN SPIKED' tanto causada por acidosis descompensada de los fluidos intersticiales y luego vasculares de un estilo de vida ácido y específicamente, exposición a campos electromagnéticos pulsantes tóxicos a 2,4GHz o mayor, intoxicación química de los alimentos y agua ingerida, contaminación ácida tóxica, rails de quimio y hasta top-it-all-off una nanomágenaCoV cargado de la vacuna - 19 inoculación de grafeno y óxido de hierro.[12][82]

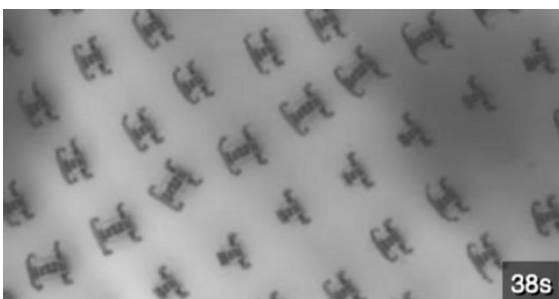
### El Campo Magnético y Reducido Graphene Oxide o Hidroxido de Grafeno



[Exido de grafeno reducido de grado magnético o oxido de grafeno hidrogenado de nanobots][82]

### Se

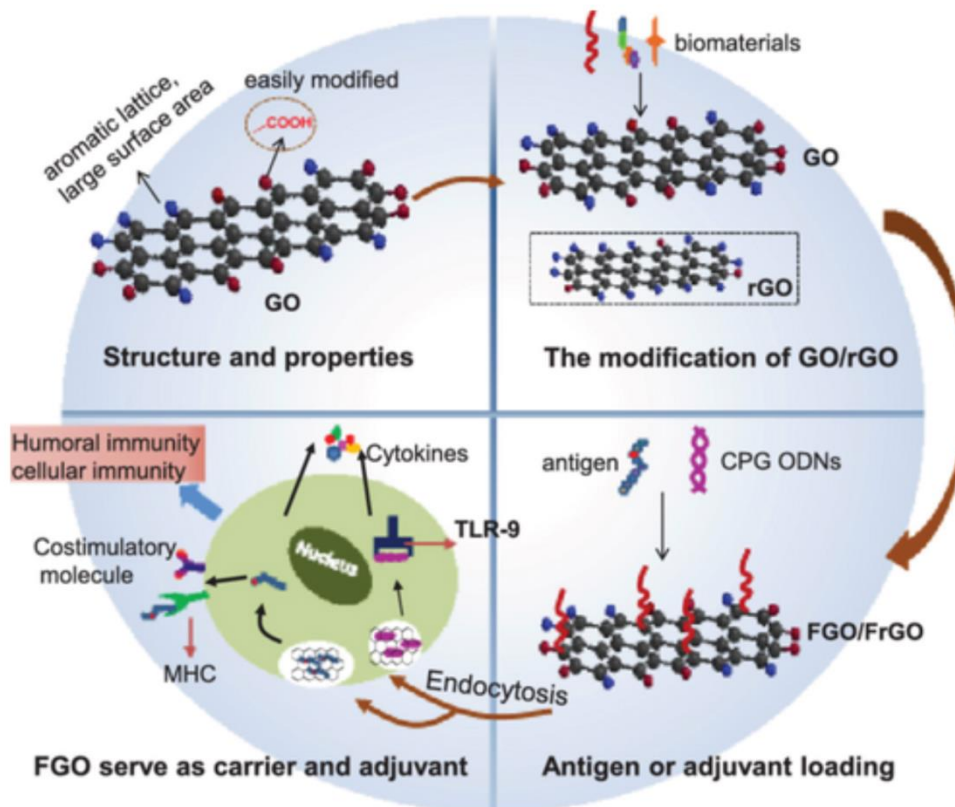
Las técnicas originales de nanofabricación fueron desarrolladas por Marc Miskin y colegas de la Universidad de Cornell. La investigación fue presentada en la Sociedad Física Americana en marzo de 2017. Según un comunicado de , el equipo pasó años desarrollando un proceso



[Four-Legged Reduced Graphene Oxide or Graphene Hydroxide Nanobots - <https://rumble.com/vkm84h-is-nanobot-technology-or-artificial-intelligence-viable-inside-the-human-bo.html>][82]]

Estos micro-robots que se muestran arriba cuentan con cuatro patas y se componen de óxido de grafeno hexagonal reducido o hidróxido de grafeno que son altamente magnéticos, flexibles y súper fuertes.[77][78][82]

A continuación se muestra el



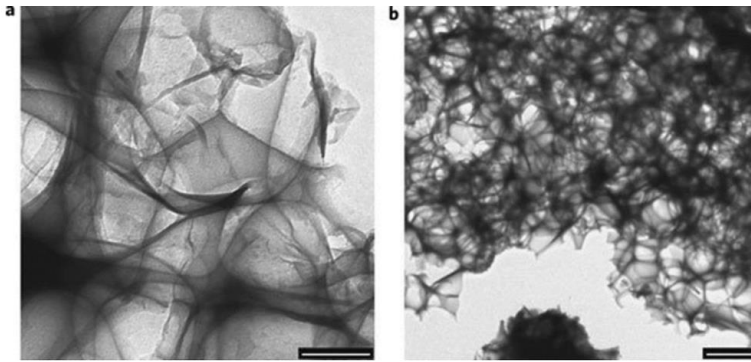
lace para un vídeo que muestra la activación de óxido de grafeno reducido o hidróxido de grafeno activado por frecuencias pulsantes de microondas electromagnéticas (EMF):

[<https://rumble.com/vkm84h-is-nobot-technology-or-artificial-integence-viable-inside-the-human-bo.html>] [79][82]

Nanopartitos de Grafeno reducido Oxido de Grafeno o Grafeno Hydroxide -

<https://forbiddenknowledgetv.net/dr-david-martin-just-end-covid-fauci-doj-politicians-in-one-interview/>[82]

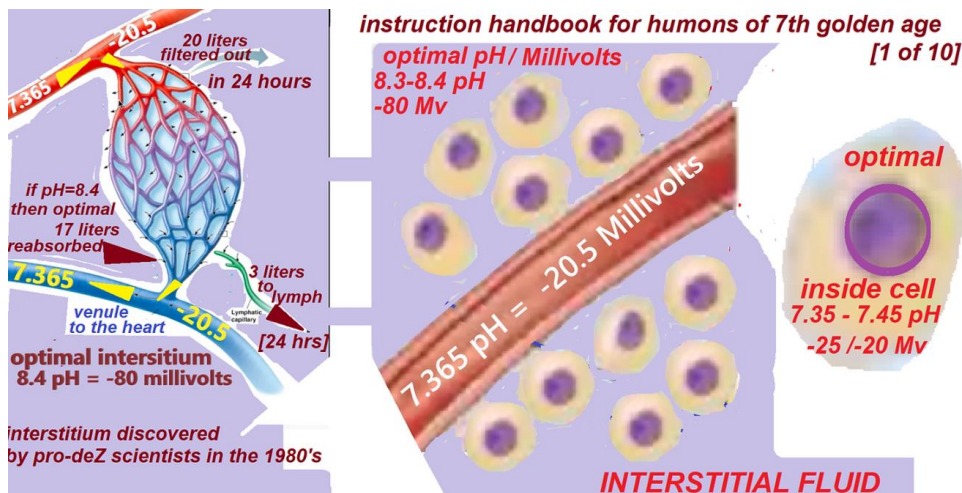
Esto permite que el óxido de grafeno reducido o nanobots de Graphene Hydroxide lleve un cuerpo que pesa aproximadamente 8.000 veces más que cada pierna. Además, cada pierna mide sólo 100 átomos e incluso hasta 1 átomo de espesor, y pueden llevar cuerpos de 1.000 a 100.000 veces más gruesos.[82][83]



[Versiones exalagonales 'inteligente' de Grafeno Reduced Graphene o Graphene Nanobots que se pueden encontrar en los Pfizer, Moderna, Astrazeneca y Janssen Vaccines [8][82][83]

Ha habido otros investigadores que ahora han desarrollado versiones de este óxido de grafeno reducido o nanobots de hidróxido de grafeno reducidos. Estas versiones cuentan con controladores, sensores, transmisores y relojes.[8][82][83]

La reducción del óxido de grafeno o los nanobots de hidróxido de grafeno se alimentan mediante el uso de campos magnéticos (EMF) o ultrasonido, lo que hace posible que viajen profundamente en los tejidos corporales humanos, órganos y glándulas (como los órganos reproductivos,[80][82][82][83], a través de la barrera hematoma sanguínea y la barrera de la sangre de aire de los pulmones a través de los fluidos intersticiales - el órgano más grande del cuerpo humano y animal llamado Interstitium. [81][82][83]

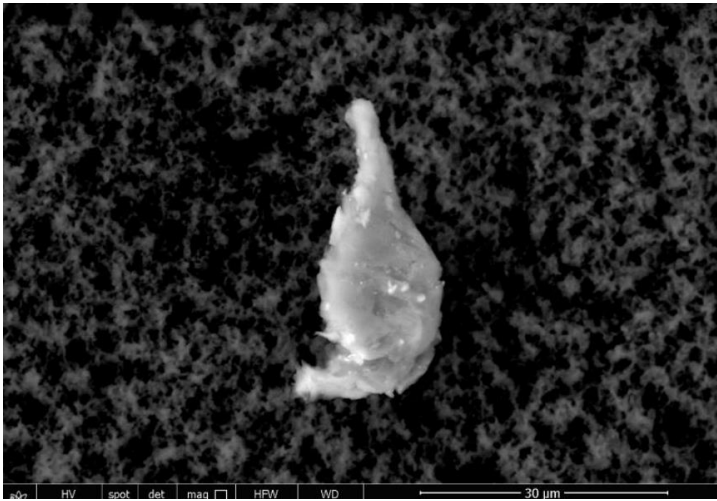


[4] Moderna "Vaccine" Ingredientes no revelados

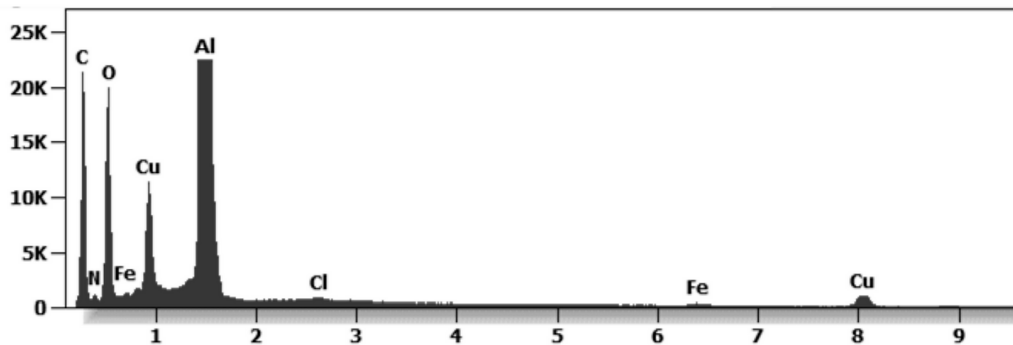
En la figura 26 y 27 se identificó una entidad mixta de materia orgánica e inorgánica contenida en la vacuna Moderna".

La Microscopía de electrón de transmisión (TMS) y cuantificada con una microsonda de rayos X de un sistema Dispersivo de Energía (SED) reveló la naturaleza química de las micro y nano partículas observadas.

La llamada "vacuna" de Moderna es un óxido de grafeno reducido basado en carbono o sustrato de sulfuro de Grafeno o de Grafeno donde algunas nanopartículas están incrustadas. Las nanopartículas están compuestas de carbono, nitrógeno, oxígeno, aluminio, cobre, hierro y cloro.[13][83][84]



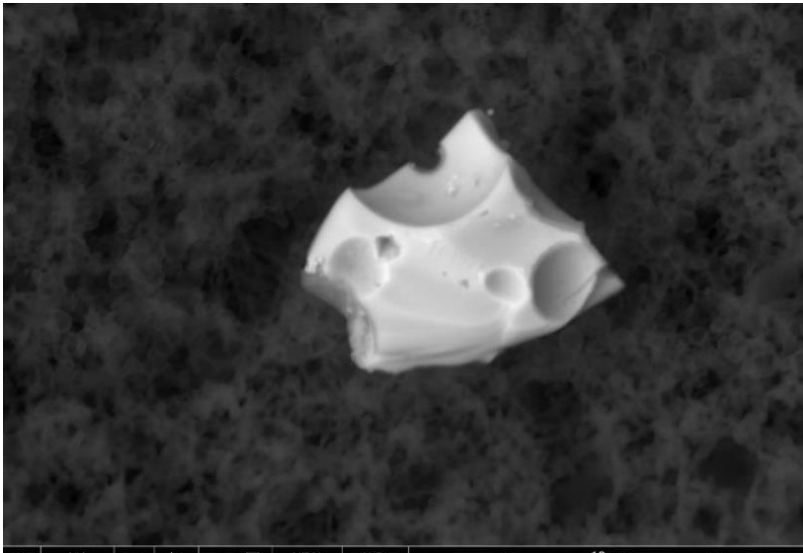
[Figura 26 Transmisión Microscopía Electrones revela un óxido de grafeno reducido o óxido de Grafeno Hydroxide Composite de la Materia Orgánica y No Organiced.[83]



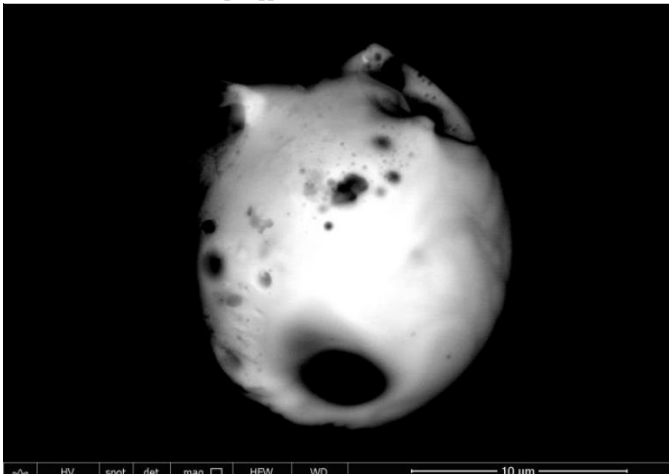
[Figura 27 revelaciones enma de citotó a nógeno particulados.[75][76][83][84]]

**Las figuras 27 y 28 muestran un análisis que también se realizó bajo Microscopía de Electrones de Transmisión (TEM) y cuantificado con una microsonda de rayos X de un Sistema Dispersivo de Energía (SED) y reveló la naturaleza química de las micro y nano partículas observadas. Muchos cuerpos extraños fueron identificados con una morfología esférica con algunas cavidades en forma de burbuja.**

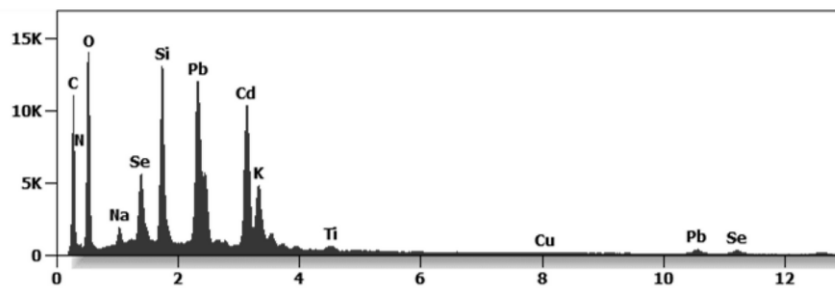
**La Figura 29 muestra que se componen de carbono, nitrógeno, oxígeno, silicio, plomo, cadmio y selenio. Esta composición de nano partículas altamente tóxicas son puntos cuánmosos de selenuro de cadmio que son citotóxicos y genotóxicos.[14][15][83]**



[Figura 27 Revela los Nano Dots en el óxido de grafeno reducido o hidroxido de grafeno encontrado en la Moderna "Vaccine".[83]]

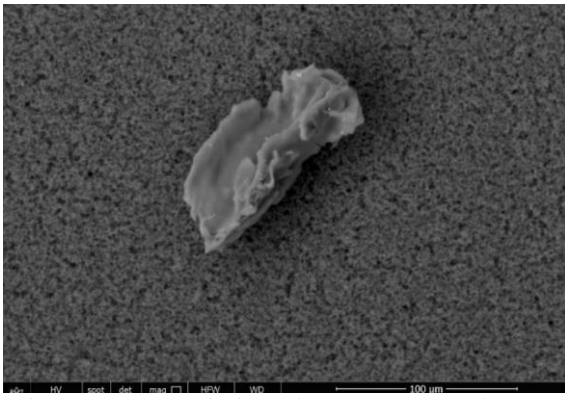


[Figura 28 revela los puntos de Nano en el oxido de grafeno reducido o hidroxido de grafeno encontrado en la "Vaccine" Moderna[83]]

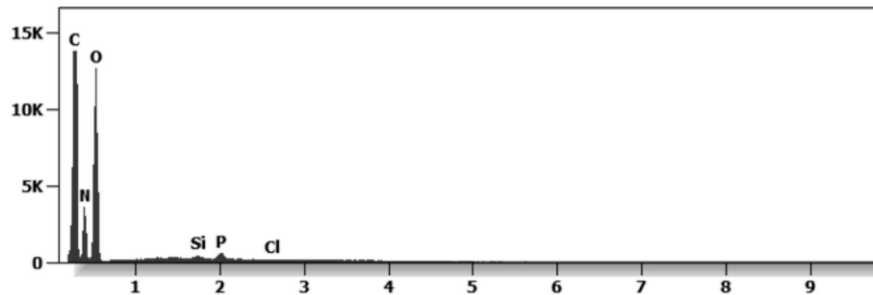


[Figura 29 revela el Cytotóxico y Genotóxico Composite de Nano Particulados en oxido de Grafeno reducido y oxido de grafeno y ronfisacales encontrados en la "Vacuna" Moderna.[76][76][83][84]]

**Las figuras 30 v 31 análisis más de la llamada Moderna "vaccine" mostraron un ssimplast de 100 micras de óxido de grafeno reducido de nanointegenas compuestas de óxido de grafeno reducido. El rGO o Hydroxide de Graphene se compone de carbono y oxígeno con contaminación de nanomágenes de nitrógeno, silicio, fósforo y cloro.[16][83]**

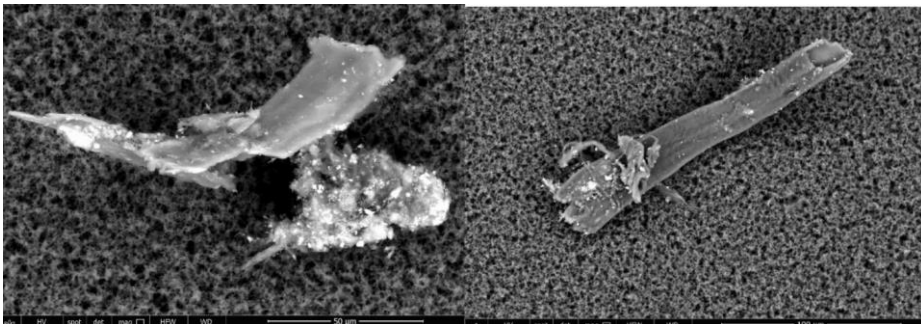


[Figura 30 Transmission Electrosocopy Revela una gran Ssimplast de 100 micras compuesta de oxido de Grafeno reducido.[83]]

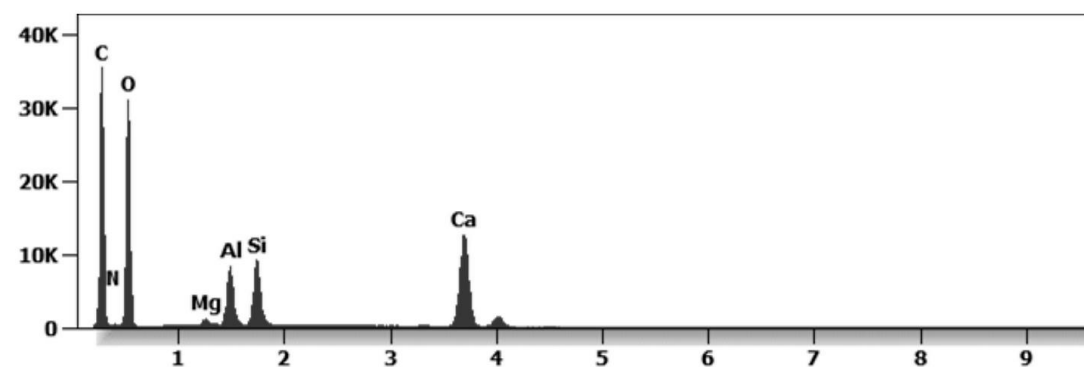


[Figura 31 Revela el Complejo de Partico Nano Contenido en la "Vacuna" Moderna[75][83]]

**Las figuras 32 y 33** muestran entidades de óxido de grafeno reducido a base de carbono o de hidróxido de grafeno en el Moderna, mezclado con agregados rellenos de nano partículas de siligo de aluminio.[17][83]



[Figura 32 revela un complejo de óxido de grafeno reducido y silicona de aluminio que utilizan Microscopía electrónica de transmisión.[75][83]]



[Figura 33 revela los elementos Nano de óxido de grafeno reducido y silicato de aluminio tenidos en la "Vaccine" Moderna[83]]

**Debate**

La pandemia SARS-CoVid-2-19 indujo a las industrias farmacéuticas a desarrollar nuevos fármacos que llamaron vacunas.

El mecanismo de acción de estos nuevos fármacos declarados por la industria farmacéutica junto con lo que se reporta en la hoja de datos de los productos de la vacuna NO es claro para los sabios médicos actuales para entender que los nuevos fármacos producidos por Pfizer-BioNTech mRNA Vaccine, la vacuna Moderna-Lonza mRNA-1273, el Serum Institute Oxford Astrazeneca Vaccine y la vacuna Janssen COVID -19, fabricada por Janssen Biotech Inc., una compañía farmacéutica de Janssen de Johnson & Johnson NO son vacunas pero nanofármacos tecnológicos que funcionan como terapia genética.

Es probable que el nombre de "vaccine" sea un escamoupe (truce) utilizado por razones burocráticas y tecnocráticas para recibir una aprobación urgente, ignorando todas las reglas normales necesarias para las nuevas drogas, especialmente para aquellos que implican nuevos mecanismos nanotecnológicos que nunca han sido desarrollados ni experimentados por los seres humanos donde, en cualquier momento de la historia del mundo.

Todos estos llamados "vaccines" están patentados y por lo tanto su contenido real se mantiene en secreto incluso para los compradores, que, por supuesto, están utilizando el dinero de los contribuyentes. Por lo tanto, los consumidores (contribuyentes) no tienen información sobre lo que están recibiendo en sus cuerpos por inoculación. La humanidad se mantiene en la oscuridad en la medida en que los procesos tecnológicos de nano partículas involucrados son preocupantes, sobre los efectos negativos en las células del cuerpo, pero sobre todo en el posible efecto magotóxico, citotóxico y nanobio-interacción genotóxica sobre la sangre y las células del cuerpo.[82]

Este estudio de investigación actual a través del análisis directo de las llamadas "vaccines" por medio de nano-intelación tecnológica de partículas revela información perturbadora y que altera la vida sobre la verdad sobre el contenido ácido tóxico real y sus efectos de estas llamadas "vacunas".



The vaccines for SARS CoVid-2 or also renamed as CoVid-19 have been fast tracked from 10 years to 1 year. It is important for us all to be aware that the clinical trials of these so-called "vaccines" or "gene therapy" inoculations do not finish until 2023!!

Los fármacos Pfizer, Moderna, Astrazeneca y Janssen NO son "vacunas" sino complejos de Grafeno reducido o oxido de grafeno o grumos de Grafeno de nanogregículas de diferentes nanoelementos aectantes a ácidos nucleicos modificados genéticamente de ARNm de células animales o vero y células fetales humanas abortadas vista y descritas anteriormente.

Una vez más los ingredientes de estas llamadas vacunas son altamente magnéticootóxicos, citotóxicos y genotóxicos para las membranas vegetales, insectos, aves, animales y células humanas y su genética, que ya ha llevado a lesiones graves (estimadas en más de 500 millones de euros) y/o de muerte (estimada en más de 35 millones).[17][18] a través de [55][73][82][83]

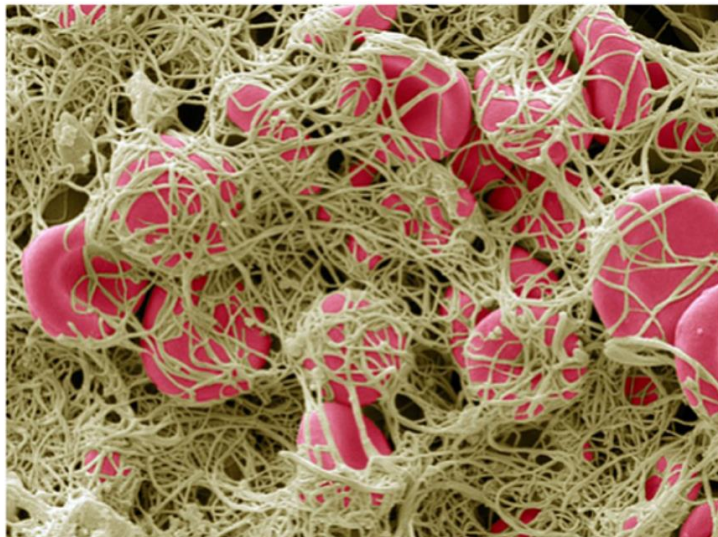
Los llamados "expertos" o "santecios médicos" te dicen que CoV -2 - 19 vacunas son la única manera de detener la propagación de CoV-19... incluso cuando no hay EVIDENCE de su existencia y NO EVIDENCE de ella se está extendiendo según el método científico de Koch o Rivers postulados.[54]

<u>Koch (1884)</u>	<u>Rivers (1937)</u>
1. The microorganism found in the ill but not the healthy	1. Isolation of virus from diseased host
2. The microorganism must be isolated from a diseased organism and grown in pure culture.	2. Cultivation of virus in host cells
3. Produce same disease in host	3. Proof of filterability
4. Re-isolation of microorganism	4. Produce same disease in host
	5. Re-isolation of virus
	6. Detection of a specific immune response to virus

[Dismantling the Viral Theory - <https://www.drrobertyoung.com/post/dismantling-theviral-theory.>]

Que estuvieran a salvo

Que sean eficaces a pesar de que millones de personas "triplemente golpeadas" y "triplemente jadas" se están enfermando, exponiéndose teóricamente a un VIRUS NON-EXISTENTE llamado CoV - 19, y muriendo ...[55] NO de alguna infección viral fantasma, sino del FEAR o evidencia falsa que aparece real y el contenido tóxico de óxido de grafeno reducido entregado a través del ARNm modificado genéticamente a objetivos específicos del cuerpo humano que conduce a la coagulación de la sangre patológica, privación de oxígeno, hipercapnia, hipoxia y luego muerte por suffocation.[56][57][58][83][85][86][87]



Phase Contrast Micrograph 2 - Erythrocytic Fibrin Net Indicating Disseminated Intravascular Coagulation - DIC

[Coagulación intravascular diseminada (DIC) o Coagulación de la Sangre Patológica[57].[58]]

**Que debieron llegar a LEAST dos disparos PLUS para vivir vidas normales.**

Y pronto, te dirán que US US USSá no tienes otra opción que cumplir con TODOS sus MANDates incluso cuando los CDC y otros gobiernos, Universidades e Institutos Médicos han admitido por escrito que NO tienen aislamiento de NO "GOLD STANDARD" del CoV - 2 ahora llamado CoV - 19 virus

No hay CORONA VIRUS y NUNCA HA SER[56]

Recuerda...

No se VER AHOY AWAY SU FREEDOM de LA LALIDAD.

[Es tu cuerpo, tu vida y tu elección.](#)

El conocimiento es poder. Y es la clave para entender por qué las vacunas experimentales CoV -19 son tan peligrosas a pesar de la narrativa oficial de los medios corporativos que suprime y censura a cualquiera que se atreva a hablar.

Tienes el control de tu propia salud. No sea víctima de los gobiernos y burócratas globales que están empujando a todo el mundo a vacunarse. Bill Gates y los multimillonarios activistas de Big Tech creen saber lo que mejor para ti y tu familia.

Debes ser libre de decidir lo que sea correcto para ti. NO deje que los gobiernos y los empleadores te obliguen a conseguir "vaxxed" por tu propio bien.

Y nunca dejes que la cultura de cancelación te haga demasiado temer tus derechos.

En palabras del gran médico y científico francés, Antione BeChamp, "no hay nada tan falso que NO contenga un elemento de verdad y así lo es con la teoría del germen". En este caso, la teoría viral, de la vacuna y de la inmunidad[59].

The Law of Change  
Doctrine of Pleomorphism

- > Antoine BeChamp (1816-1908)
- > Microzyma Theory
- > Germs are born in us
- > Father of Pleomorphism
- > Many Forms - Many Functions
- > Germs are transmutations of organized healthy cells
- > Germs do not cause disease
- > Disease comes from within
- > Germs are nothing the Terrain is everything
- > Discovered Fermentation
- > Contextual Scientist

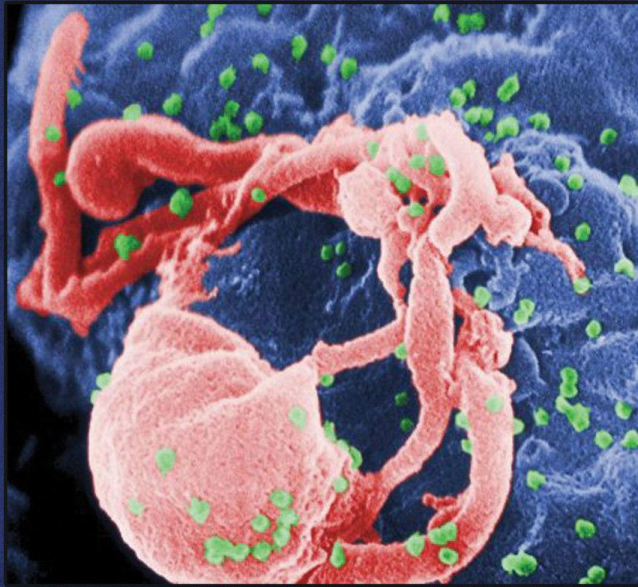


Antoine Bechamp

Para obtener más información sobre los virus, las vacunas y la teoría viral, por favor lea y estudie, Un segundo pensamiento sobre los virus, las vacunas y la Hipótesis del SIDA del VIH. Puedes pedir este libro en:

<https://www.phmiracleproducts.com/collections/books-audio-video/products/second-thoughts-about-virus-vaccines-and-the-hiv-aids-hypothesis-booklet>

## Second Thoughts About Viruses, Vaccines, and the HIV/AIDS Hypothesis



Robert O. Young MSc, DSc, PhD

Lea y aprenda más sobre los virus, las vacunas y la teoría viral en los siguientes artículos científicos.[60][62]



Robert O Young MSc, DSc, PhD, Naturopathic Practitioner

## 1. Análisis y transmisión Electron Microscopía Resultados Revelación del óxido de grafeno en CoV-19 Vaccines - Entrevista con el Dr. Robert O. Joven

Una bomba absoluta y una mayor revelaciones sobre lo que hay en las vacunas, con el uso de electrones y otros tipos de microscopía de la investigación original del Dr. Robert Young y su equipo, confirmando lo que encontraron los investigadores de La Quinta Columna: contenido nanometal tóxico con efectos citotóxicos y genotóxicos, así como un parásito identificado. Esta es una revelación importante: por favor, manténganse atentos para un artículo importante que reporta esto en ECC, mientras que por favor comparta este video ampliamente.

<https://www.bitchute.com/video/Z2sAH0Woz38r/>



<https://rumble.com/vlonug-electron-microscopy-reveals-graphene-óxido-in-cov-19-vaccines.html>



<https://odysee.com/-DrRobertYoung:7/MicroscopyEvidenceofGOinVaccineszoom-0:c?r=DwWt6qy5ACY9nSS1q6nqSpAYbuZJWf>

2. The Epidemic Curves of the Most Vaccinated Countries  
<https://www.drrobertyoung.com/post/world-health-organisation-who-publishes-epidemic-curves-of-the-más-vaccinados-pacitados-patos>

3. Suecia sigue la ciencia biológica NO la Ciencia Política <https://www.drrobertyoung.com/post/sweden-is-following-the-biological-science-not-political-science>

4. Qué está sucediendo en la India <https://www.drrobertyoung.com/post/what-happened-in-india>

-5. Sobrevivir a la plaga de la corrupción <https://www.drrobertyoung.com/post/surviving-the-plague-of-corruption>

6. Desmantelando la teoría viral <https://www.drrobertyoung.com/post/dismantling-the-viral-theory>

7. Corona en el juicio <https://www.drrobertyoung.com/post/corona-on-trial-explosive-and-exclusive>

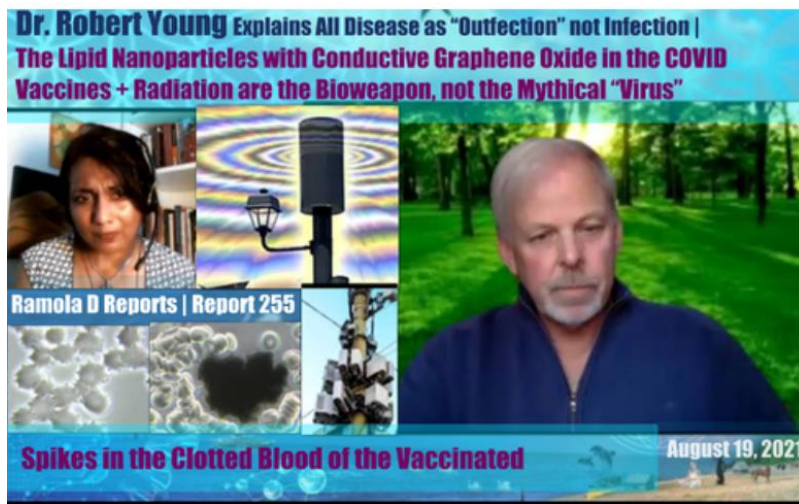
8. El Síndrome de <https://www.drrobertyoung.com/post/the-havana-syndrome-pulsating-microwaves>

9. CDC NO Admite NO 'Gold Standard' for the Isolation for ANY Virus -



10. Libertad de información responde en CoV - 2 ahora llamada CoV - 19 -

11. Por qué los virus no se existen -



12. Informe 255 Dr. Robert Young: Toda la enfermedad es de la infección no es defeción, la vacuna Nano es Bioarma. <https://www.bitchute.com/video/rdQhuY455VmK>

13. Informe 255 Dr. Robert Young: Toda la enfermedad es de la infección, no de la infección . Las nanopólculas lipisicas de la vacuna con radiación de Graphene Plus es la bioarma--No COVID Virus Exists.

<https://www.brighteon.com/250210af-c8a3-a1-47a1-8922-c960342fe2fb>

14. Informe 255 Dr. Robert Young: Toda la enfermedad es de la infección no es defeción, la vacuna Nano es Bioarma.

<https://odvsee.com/-RamolaDReports:8/Report-255---Dr.-Robert-Young-Explains-Disease-by-Outfection,-Lipid-Nanoparticles-with-Graphene-the:4>

15. Las noticias explosivas de que las Vacunas COVID han sido diseñadas bioquímicamente para atacar órganos específicos, dado que ahora están causando efectos adversos específicos que involucran órganos específicos -como los órganos reproductivos, el corazón, el cerebro, la sangre, etc. Dr. Young comparte su experiencia a lo largo de 40 años de formular nutraceuticals dirigidas que utilizan polinucleótidos específicos - material genético, tomado de tejido animal - para enviar nutrición herbaria a órganos específicos; es esta misma metodología, dice, usando células de órganos fetales y líneas de células de órganos animales, no revelado, mantenido oculto como secretos comerciales, que se está utilizando en vacunas con un propósito deletario, para dañar y esterilizar.

Variabilidad de la toxicidad en los lotes y la selección de lotes por razones específicas - etiquetadas, grabadas y estructuradas por los científicos fabricante de vacunas que llevan a cabo estos horribles experimentos--es el otro extremo de este escenario.

Es por eso que estamos viendo un aumento de la miocarditis en los niños que toman la vacuna, y abortos espontúres y cambios menstruales en las mujeres que toman la vacuna.

Esta información es confirmada por el profesor Sir John Bell de Oxford, quien fue grabado diciendo que la esterilidad del 60-70% está destinada por las vacunas.

Dr. Young también lee una poderosa declaración que resume la agenda de experimentación y transhumanización en curso y anima a la gente a ponerse de pie, para decir NO, a no cumplir con las agendas diabólicas de militares y bancos para destruir insidiosamente a la humanidad.

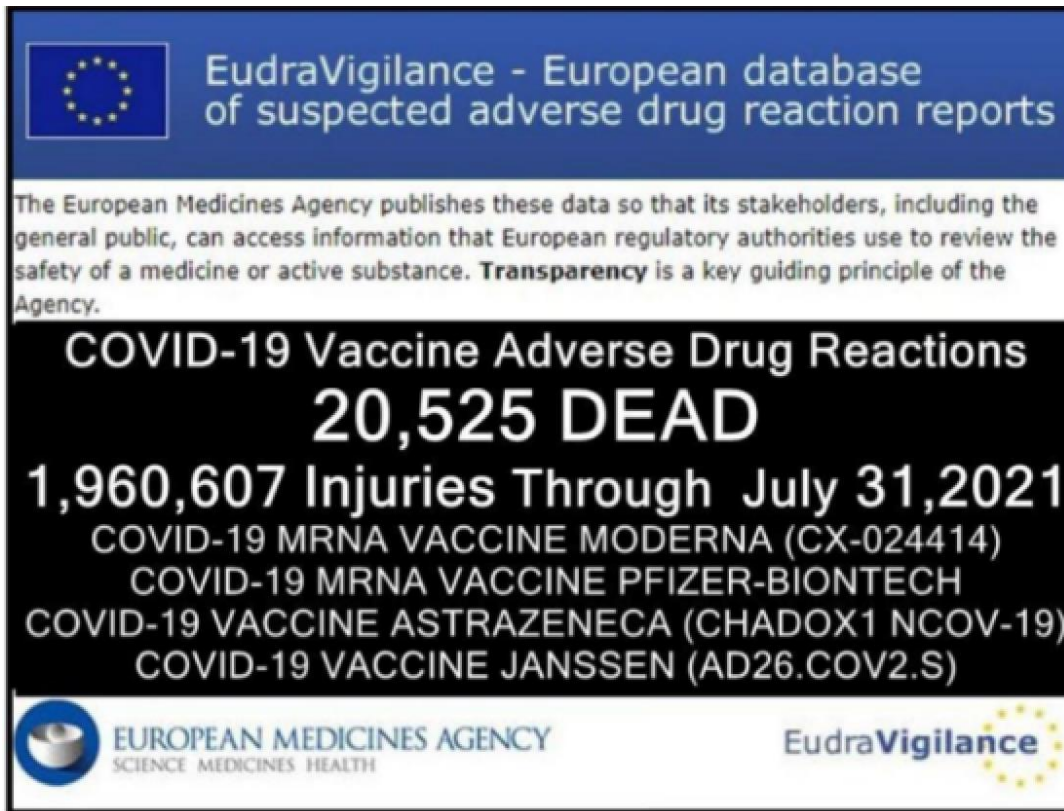
**Ramola D Reports | Newsbreak 142 | Dr. Robert Young Reveals the COVID Injections are Intelligent Targeted Bioweapons Using Specific Genetic Biologic Markers to Reach Specific Organs—Like the Heart, Ovaries, Brain | A Practice Used For Targeted Nutraceuticals**



**Stillbirths, Miscarriages, Menstrual Changes and Myocarditis, Pericarditis Post-Vaccine Are Occurring Because mRNA Lipid Capsids with Graphene are Tagged to Hit Womb, Ovaries, Heart | Variability in Batches Target Gender and Age Groups**

<https://www.bitchute.com/video/ufDTR2WopE5p/>

16. Olvida todo lo más. Mira los números de THE VAER sobre lesiones y muertes <https://www.drrobertyoung.com/post/forget-everything-else-you-ve-heard-just-look-at-the-numbers>



**EudraVigilance - European database of suspected adverse drug reaction reports**

The European Medicines Agency publishes these data so that its stakeholders, including the general public, can access information that European regulatory authorities use to review the safety of a medicine or active substance. **Transparency** is a key guiding principle of the Agency.

**COVID-19 Vaccine Adverse Drug Reactions**  
**20,525 DEAD**  
**1,960,607 Injuries Through July 31, 2021**

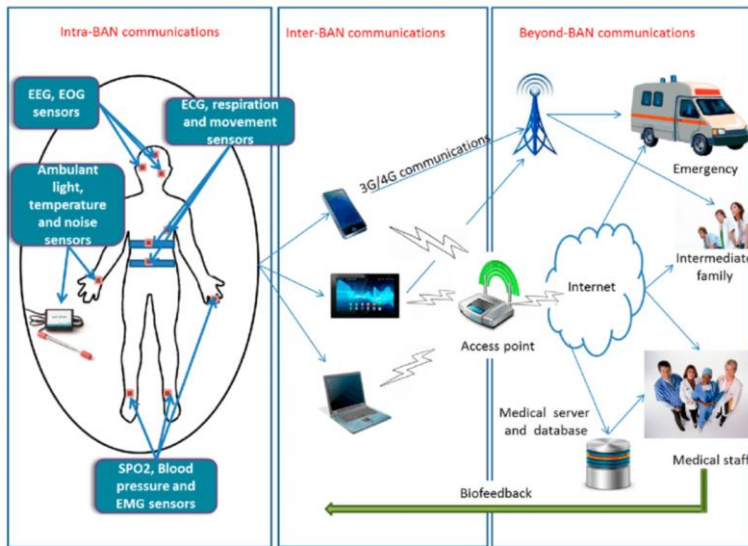
COVID-19 MRNA VACCINE MODERNA (CX-024414)  
 COVID-19 MRNA VACCINE PFIZER-BIONTECH  
 COVID-19 VACCINE ASTRAZENECA (CHADOX1 NCOV-19)  
 COVID-19 VACCINE JANSSEN (AD26.COVS)

EUROPEAN MEDICINES AGENCY  
 SCIENCE MEDICINES HEALTH

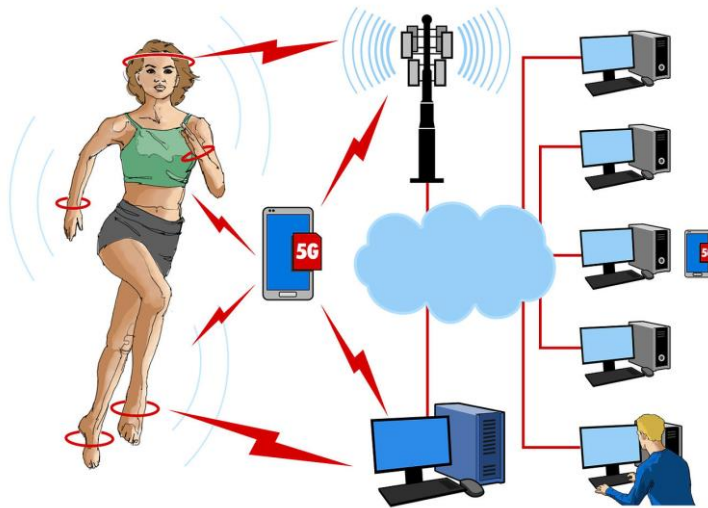
EudraVigilance

17. Dr. Robert O. Joven Testimonio de ITNJ





Una vez Impregnated con acero inoxidable, oxido de grafeno reducido o oxido de grafeno y oxido de hierro de la CoV - 19 Vaccine USE ests listo para estar conectado al Internet de las Cosas.[87]



20. Conexin inalmula desde torres celulares o satlites a USE[73][74][82][87]



21. Lea el artículo en el enlace de abajo: COVID-19 Vaccine Ingredientes y su conexión para reducir el oxido de grafeno o oxido de grafeno o roncología, Parasitarios y EMF en: [nobulart.com/covid-19-vaccine-redientes/](http://nobulart.com/covid-19-vaccine-redientes/) Publicado: 31 de agosto de 2021.

22. Tu cuerpo tu vida tu elección:

<https://rumble.com/vn4n6i-your-body-your-life-your-choice.html>





## Referencias

- [1] Ou, L., Song, B., Liang, H. *Parte Fibre Toxicol*
- [2] Young RO (2016) Coagulación Patológica de Sangre y la Prueba de Estrés de Oximoso Micóxima (MOST). *Int J Vaccines Vaccin* 2(6): 00048. DOI: [10.15406/ijvv.2016.02.00048](https://doi.org/10.15406/ijvv.2016.02.00048)
- [3] Xu et al, (2019) Identificación del óxido de grafeno y sus características estructurales en disolventes por microscopía óptica, *RSC Adv.*, 9, 18559-18564
- 1-ARN de la subasta kit <https://www.fishersci.es/shop/products/ambion-purelink-rna-mini-kit7/10307963>
- 2- NanoDrop™ <https://www.thermofisher.com/order/catalog/product/ND-2000>
- 3- QUBIT2.0: <https://www.thermofisher.com/es/es/home/references/newsletters-andjournals/bioprobess-journal-of-cell-biology-applications/bioprobess-issues-2011/bioprobess-64-april2011/the-qubit-2-0-fluorometer-april-2011.html>
- [4] Muestra RD1, La Quinta Columna Informe, 28 de junio de 2021; Detección de óxido de grafeno en Suspensión Acuosa; Delgado Martín, Campa Madrid.
- [5] Kim et al, Seeing graphene-based sheets, *Materials Today*, Volume 13, Issue 3, 2010, Páginas 28-38, ISSN 1369-7021, [https://doi.org/10.1016/S1369-7021\(10\)70031-6](https://doi.org/10.1016/S1369-7021(10)70031-6)
- [6] Bano, I. et al , 2019. Explorando las propiedades fluorescencia de óxido de grafeno reducido con rendimiento de dispositivos sintonizables, *Diamante y Materiales Relacionados*, Volumen 94, 59-64, ISSN 0925- 9635, <https://doi.org/10.1016/j.diamond.2019.02.021>.
- [7] Biroju, Ravi & Narayanan, Tharangattu & Vineesh, Thazhe Veetil. (2018). Nuevos avances en electroquímica 2D. *Catálisis y Sensación*. 10.1201/978131515152042-7.
- [8] Choucair, M., Thordarson, P. & Stride, J. Producción a gran escala de grafeno a base de síntesis y sonicación solvothermal. *Nature Nanotech* 4, 30-33 (2009). <https://doi.org/10.1038/nnano.2008.365>
- [9] Atlas de Parasitología Humana, 4a Edición, Lawrence Ash y Thomas Orithel, páginas 174 a 178
- [10] Mano, S.S.; Kanehira, K.; Sonezaki, S.; Taniguchi, A. Efecto de la Modificación de la Nanopartícula de Polietileno de las nanopartículas de TiO2 sobre citotoxicidad y expresiones de genes en las líneas celulares humanas. *Int. J. Mol. Sci.* 2012, 1313, 3703-3717. <https://doi.org/10.3390/ijms130303>
- [11] Srivastava AK, Dwivedi N, Dhand C, et al. Potencial de los materiales a base de grafeno para combatir COVID-19: propiedades, perspectivas y perspectivas. *Mater Today Chem.* 2020;18:100385. doi:10.1016/j.mchem.2020.100385
- [12] Young, RO, " The Effects of ElectroMagnetic Frequencies (EMF) on the Blood and Biological Terrain". <https://www.drrobertyoung.com/post/the-effects-electromagnet-frequencies-on-the-blood-and-biological-terrain>
- [13] Gatti AM, Manti A, Valentini L, Montanari S, Gobbi P, et al. (2016) Nano biointeracción de partículas en la circulación sanguínea. *Fronteras* 30: 3.

[14] Nikazar, S., Sivasankarapillai, VS., Rahdar, A. *et al.* Revisar la citotoxicidad de los puntos cuánticos: una visión general en profundidad. *Biophys Rev* 12, 703-718 (2020). <https://doi.org/10.1007/s12551-020-00653-0>

[15] Ritesh Banerjee, Priya Goswami, Manoswini Chakrabarti, Debolina Chakraborty, Amitava Mukherjee, Anita Mukherjee, Cadmium selenide (CdSe) quantum puntos cuánticos causan genotoxicidad y estrés oxidativo en plantas de Avena cepa, *Mutation Research/Genetic Toxicology and Environmental Mutagenesis*, Volume 865, 2021, 503338, ISSN 1383-5718, <https://doi.org/10.1016/j.mrgentox.2021.503338>.

[16] Wanjun Cao, Lin He, Weidong Cao, Xiaobing Huang, Kun Jia, Jingying Dai, Progreso reciente del óxido de grafeno como portador potencial de vacuna y adyvant, *Acta Biomaterialia*, Volumen 112, 2020, Páginas 14-28, ISSN 1742-7061, <https://doi.org/10.1016/j.actbio.2020.06.009>. (<https://www.sciencedirect.com/science/article/pii/S1714706120303305>)

[17] Enciclopedia concisa de materiales compuestos, ed. Anthony Kelly, MIT Press, 1989, [ISBN 0-262-11145-4](https://doi.org/10.1016/B978-0-262-11145-4)

[18] L. Harivardhan Reddy, José L. Arias, Julien Nicolas y Patrick Couvreur, "Magnetic Nanoparticles: Design and Characterization, Toxicity and Biocompatibilidad, Pharmaceutical and Biomedical Applications". *Chemical Reviews* 2012 112 (11), 5818-5878 DOI: 10.1021/cr300068p

[19] US Dpt de servicios de salud y servicios humanos (1996) Report Update: Vaccine Side Effects, Reacciones Adversas, Contraindicaciones y Precauciones. CDC 45(RR-12): 1-35.

[20] Ottaviani G, Lavezzi AM, Matturri L (2006) Síndrome súbduro de la muerte del lactante (SIDS) poco después de la vacunación hexavalente: patología en los pequeños Estados insulares en desarrollo sospechosos? *Virchows Arch* 448(1): 100-104.

[21] Taylor B, Miller E, Farrington CP, Petropoulos MC, Favot-Mayaud I, et al. (1999) Autismo y la vacuna contra el sarampión, las paperas y la rubéola: sin evidencia epidemiológica para una asociación causal. *Lancet* 353(9169): 2026-2029.

[22] Demicheli V, Rivetti A, Debalini MG, Di Pietrantonj C (2012) Vacunas para sarampión, paperas y rubéola en niños. *Cochrane Database Syst Rev* 15(2): CD004407. Nuevas investigaciones de control de calidad sobre vacunas: micro y nanocontaminación 13/13 Copyright: No2016 Gatti et al. Citación: Gatti AM, Montanari S (2016) Nuevas investigaciones de control de calidad sobre vacunas: Micro- y Nanocontaminación. *Int J Vaccines Vaccin* 4(1): 00072. DOI: 10.15406/ijvv.2017.04.00072

[23] Carola Bardage, Ingemar Persson, Eke .tqvist, Ulf Bergman, Jonas F Ludvigsson, et al. (2011) Trastornos neurológicos y autoinmunes después de la vacunación contra la gripe pandémica A (H1N1) con una vacuna monovalente adyvantada: estudio de cohortes basadas en la población en Estocolmo, Suecia. *BMJ* 343: d5956.

[24] Johann Liang R (2012) Actualización de la tabla de lesiones de vacunas después del Informe de la OIM sobre los efectos adversos de las vacunas. *HRSA*, pp. 1-27.

[25] L Tomljenovic, CA Shaw (2011) Aluminum Vaccine Adjuvants: Are they Safe? *Química Medicinal actual* 18(17): 2630-2637.

[26] Shaw CA, Petrik MS (2009) Las inyecciones de hidróxido de aluminio conducen a déficits de motor y degeneración de la neurona motora. *J Inorg Biochem* 103(11): 1555-1562.

- [27] Authier FJ, Sauvat S, Christov C, Chariot P, Raisbeck G, et al. (2006) AIOH3-adjuvanted la miofasciitis macrófago inducida por la vacuna en ratas está influenciada por el fondo genético. *Neuromuscul Disord* 16(5): 347-352.
- [28] Exley C, Esiri MM (2006) Severe cerebral congrolitopatía coincidente con el aumento del aluminio cerebral en un residente de Camelford, Cornwall, Reino Unido. *J Neurol Neurosurg Psychiatry* 77(7): 877- 879.
- [29] Wills MR, Savory J (1985) Contenido de agua de aluminio, demencia de diálisis y osteomalacia. *Environ Health Perspect* 63: 141-147.
- [30] Brinth L, Pors K, Theibel AC, Mehlsen J (2015) Suspecsóbidos efectos secundarios de la vacuna cuirmal de papiloma humana. *Danés Médico J* 62(4): 1-12.
- [31] Palmieri B, Poddighe D, Vadalá M, Laurino C, Carnovale C, et al. (2016) Síndromos severos de somatoformo y disautonómicos después de la vacunación contra el VPH: serie de casos y revisión de la literatura. *Immunol Res.*
- [32] Visani G, Manti A, Valentini L, Canonico B, Loscocco F, et al. (2016) Las nanopartículas ambientales están significativamente sobreexpresadas en leucemia mieloide aguda. *Leuk Res* 50: 50-56.
- [33] Artoni E, Sighinolfi GL, Gatti AM, Sebastiani M, Colaci M, et al. (2016) Micro y nanopartículas como posibles cofactores patogenéticos en crioglobulinemia mixta. *Medicina Ocupacional.*
- [34] T Hansen, L Klimek, F Bittinger, I Hansen, A Gatti, et al. (2008) Reiches de celular de máscico Aluminio granuloma *Pathologie* 29(4): 311-313.
- [35] Gatti AM, Manti A, Valentini L, Montanari S, Gobbi P, et al. (2016) Nano biointeracción de partículas en la circulación sanguínea. *Fronteras* 30: 3.
- [36] Tenzer S, Docter D, Rosfa S, Wlodarski A, Kuharev J, et al. (2011) El tamaño de la nanopartícula es un determinante fisicoquímico crítico de la corona del plasma sanguíneo humano: un análisis proteómico cuantitativo completo. *ACS Nano* 5(9): 7155-167.
- [37] Radauer Preiml , Andosch A, Hawranek T, Luetz-Meindl U, Wiederstein M, et al. (2015) Interacciones nanopículas-alergen median respuestas alérgicas humanas: caracterización de la coronación de proteínas y respuestas celulares. *Fibra toxicología* 13: 3.
- [38] Cedervall T, Lynch I, Lindman S, Bergded T, Thulin E, et al. (2016) Entendiendo la corona de nanopartícula-proteína utilizando métodos para cuantificar los tipos de cambio y afinidades de proteínas para nanopartículas. *PNAS* 104 (7): 2050-2055.
- [39] Lynch I, Cedervall T, Lundqvist M, Cabaleiro-Lago C, Linse S, et al. (2007) El complejo de nanopartículas-proteína como entidad biológica; un complejo desafío de la ciencia de la superficie para el siglo XXI. *Avances en Coloide e Interfaz Ciencia* 134-135: 167-174.
- [40] Gatti AM, Quaglino D, Sighinolfi GL (2009) A Morphological Approach to Monitor the Nanoparticle-Cell Interaction. *International Journal of Imaging and Robotics* 2: 2-21.
- [41] Urban RM, Jacobs JJ, Gilbert JL, Galante JO (1994) Migración de productos de corrosión de prótesis modulares. Microanálisis de partículas y hallazgos histopatológicos. *The Journal of Bone and Joint Surgery* 76(9): 1345-1359.
- [42] Kirkpatrick CJ, Barth S, Gerdes T, Krump-Konvalinkova V, Peters (K 2002) Pathomecanismos de herida deteriorada por productos de corrosión metálico. *Mund Kiefer Gesichtschir* 6(3): 183-190.

- [43] Lee SH, Brennan FR, Jacobs JJ, Urban RM, Ragasa DR, et al. (1997) Respuesta humana de monocitos/macrófagos a los productos de corrosión de cobalto-cromo y partículas de titanio en pacientes con reemplazos articulares totales. *J Orthop Res* 15(1): 40-49.
- [44] Shaw CA, Seneff S, Kette SD, Tomljenovic L, Oller Jr JW, et al. (2014) Entropía inducida por aluminio en sistemas biológicos: Implicaciones for Neurological Disease. *Journal of Toxicology* 2014: 491316.
- [45] Shaw CA, Kette SD, Davidson RM, Seneff S (2013) Aluminum's Role in CNS-immune Interactions que conducen a Trastornos Neurológicos. *Investigación inmunológica* 9: 069.
- [46] Seneff S, Swanson N, Chen Li (2015) Aluminio y Glipato Can Sinérgicamente Inducir Patología de la Gland Pineal: Connection to Gut Dysbiosis and Neurological Disease. *Ciencias Agrícolas* 6(1): 42- 70.
- [47] Pegaz B, Debeve E, Ballini JP, Konan-Kouakou YN, van den Bergh HJ (2006) Efecto del tamaño de la nanopartícula en las extravasaciones y la actividad fotoregóbica de meso(p-tetracarboxifenil)porfirina. *J Photochem Photobiol B* 85(3): 216-222.
- [48] Brinith LS, Pors K, Hoppe AG, Badreldin I, Mehlsen J (2015) Is Chronic Fatigue Syndrome/Myalgic Encephalomyelitis a Relevant Diagnosis en pacientes con Efectos secundarios sospechosos de la Vacuna Virus de Papa Abuloma Humana? *Revista Internacional de Vacunas y Vacunación* 1(1):1-5.
- [49] Moos WH, Faller DV, Harpp DN, Kanara I, Pernokas J, et al. (2016) Microbiota y Trastornos Neurológicos: Un Gut Feeling. *Biores Acceso Abierto* 5(1): 137-145.
- [50] Sekirov I, Russell SL, Caetano L, Antunes M, Brett (2010) Gut Microbiota in Health and Disease. *Fisiológico Rev* 90(3): 859-904.
- [51] Umbrello G, Esposito S (2016) Microbiota y enfermedades neurológicas: posibles efectos de probióticos. *J Transl Med* 14(1): 298.
- [52] Kinoshita T, Abe RT, Hineno A, Tsunekawa K, Nakane S, et al. (2014) Disfunción nerviosa simpática periférica en las adolescentes japonesas después de la inmunización con la vacuna contra el virus del papiloma humano. *Paso Med* 53(19): 2185-2200.
- [53] Zhang L, Richards A, Khalil A, Wogram E, Ma H, Young RA, Jaenisch R. SARS-CoV-2 RNA inverso-transcrito e integrado en el genoma humano. *bioRxiv [Preprint]*. 2020 Dic 13:2020.12.12.422516 doi: 10.1101/2020.12.12.422516. PMID: 33330870; PMCID: PMC7743078.
- [54] Joven, RO, " Olvídate de todo lo más. Mira los números de THE VAER sobre lesiones y muertes". <https://www.drrobertyoung.com/post/forget-everying-else-you-ve-heard-just-look-at-the-numbers5>
- [55] Young, RO, " CDC NOW Admite NO 'Gold Standard' for the Isolation for ANY Virus" <https://www.drrobertyoung.com/post/cdc-now-admits-no-gold-standard-for-the-aislación-for-any-virus>
- [56] Joven, RO, "El Génesis de Severe Acute Respiratory (Syndrome) o SARS & Corona Virus o COVID - 19". <https://www.drrobertyoung.com/post/the-genesis-of-severe-acute-syndrome-or-sars-corona-rus-rus-o-covid-19>
- [57] Joven, RO, "What Cause Oxygen Deprivation of the Blood (DIC) and Then Lungs(SARS - CoV 2 & 19)?" <https://www.drrobertyoung.com/post/what-causes-oxygen-deprivation>
- [58] Young RO, Migalko G (2020) Qué causa la privación de oxígeno de la sangre (DIC) y Then Lungs (SARS - CoV 2 y 12)?. *Integ Mol Bio Biotechnol* 1: 001-007. <http://sciaeon.org/articles/What-Causes-Oxygen-Deprivation-of-the-Blood-DIC-and-Then-Lungs-SARS-CoV2and12.pdf>

[59] Joven RO (2016) Quién tenía su dedo en la magia de la vida - Antoine Bechamp o Louis Pasteur?. Int J Vaccines Vaccin 2(5): 00047. DOI: [10.15406/ijvv.2016.02.00047](https://doi.org/10.15406/ijvv.2016.02.00047)

[60] Young RO (2016) Second Pensamientos sobre Virus, Vacunas y Hipótesis del VIH/SIDA - Parte 1. Int J Vaccines Vaccin 2(3): 00032. DOI: [10.15406/ijvv.2016.02.00032](https://doi.org/10.15406/ijvv.2016.02.00032)

<https://medcraveonline.com/IJVV/second-thoughts-about-virus-vaccines-and-the-hiv-aids-hypothesis--part-1.html>

[61] Young RO (2016) Segundo Pensamiento sobre Virus, Vacunas y la Hipótesis del VIH/SIDA - Parte 2. Int J Vaccines Vaccin 2(3): 00034. DOI: [10.15406/ijvv.2016.02.00034](https://doi.org/10.15406/ijvv.2016.02.00034)

<https://medcraveonline.com/IJVV/second-thoughts-concerning-virus-vaccines-and-the-hiv-aids-hypothesis--part-2.html>

[62] Young RO (2016) Segundos pensamientos sobre los virus, las vacunas y la Hipótesis del VIH/SIDA - Parte 3 VIH/SIDA y el Modelo de Enfermedad Monomórfica. Int J Vaccines Vaccin 2(3): 00035. DOI: [10.15406/ijvv.2016.02.00035](https://doi.org/10.15406/ijvv.2016.02.00035)

<https://medcraveonline.com/IJVV/second-thoughts-concerning-virus-vaccines-and-the-hiv-aids-hypothesis---part-3-hiv-aids-and-the-monomorphic-disease-model.html>

[63] Wu HY, Lin KJ, Wang PY, Lin CW, Yang HW, Ma CC, Lu YJ, Jan TR. El óxido de grafeno recubierto de polietilenglicol atenúa la producción de IgE específico del antígeno y la reactividad mejorada de células T inducida por antígeno en ratones BALB/c sensitos de ovalúmina. Int J Nanomedicine. 2014 Sep 8;9:4257-66. doi: 10.2147/IJN.S66768. PMID: 25228804; PMCID: PMC4162634.

[64] Xu L, Xiang J, Liu Y, Xu J, Luo Y, Feng L, Liu Z, Peng R. El óxido de grafeno funcionalizado sirve como una novedosa vacuna a nanoady para la estimulación robusta de la inmunidad celular. Nanoscale. 2016 Feb 14;8(6):3785-95. doi: 10.1039/c5nr09208f. Epub 2016 Ene 27. PMID: 26814441.

[65] Xu L, Xiang J, Liu Y, Xu J, Luo Y, Feng L, Liu Z, Peng R., "El óxido de grafeno funcionalista sirve como una novedosa vacuna nanoady para la estimulación robusta de la inmunidad celular. Nanoscale". 2016 Feb 14;8(6):3785-95. doi: 10.1039/c5nr09208f. Epub 2016 Ene 27. PMID: 26814441.

[66] Cao W, He L, Cao W, Huang X, Jia K, Dai J., "Recent progress of graphene oxide as a potential vaccine carrier and addy ady". Acta Biomater. 2020 Ago;112:14-28. doi: 10.1016/j.actbio.2020.06.009. Epub 2020 Jun 10. PMID: 32531395.

[67] Nano coronavirus vacuna recombinante que toma óxido de grafeno como portador - Patente

<https://patents.google.com/patente/CN112220919A/en>

**Resumen** La invención pertenece al campo de los nanomateriales y la biomedicina, y se relaciona con una vacuna, en particular con el desarrollo de nano-vacuna nuclear recombinante recombinante del coronavirus 2019-nCoV. La invención también comprende un método de preparación de la vacuna y la aplicación de la vacuna en experimentos con animales. La nueva vacuna corona contiene óxido de grafeno, carnosina, CpG y nuevo virus corona RBD; carnosina de unión, CpG y neocoronavirus RBD en la columna trasero del óxido de grafeno; la secuencia de codificación CpG se muestra como ID de la coronación 1 SEQ; el nuevo coronavirus RBD se refiere a una nueva región de unión al receptor de proteínas coronavirus que puede generar un anticuerpo específico de alto nivel dirigido a la RBD en un cuerpo de ratón, y proporciona un fuerte apoyo para la prevención y tratamiento del nuevo coronavirus.

[68] Takizawa K, Aoyagi A, Takada J, Katayama N, Yekeh K, Takehiko Y, Kohno KR. Modelos de canal para redes de área inalámbrica de carrocería. *Annu Int Conf IEEE Eng Med Biol Soc.* 2008;2008:1549-52. doi: 10.1109/IEMBS.2008.4649465. PMID: 19162968.

[69] Le, Thien T T y Sangman Moh. Sistemas de mitigación de interferencias para redes de sensores de área inalámbrico: Una encuesta comparativa. *Sensores (Basel, Suiza)* vol. 15,6 13805-38. 11 Jun. 2015, doi:10.3390/s150613805

[70] " Proyecto: Soul Catcher: Secrets of Cyber and Cybernetic Warfare Reveled" Paperback . 27 de septiembre de 2010. El volumen 2 detalla las prácticas de la CIA de interrogatorio y control de la mente cibernética en su búsqueda para armar la neuropsicología. Abarca el arte de la guerra de biocomunicación. Los seres humanos son máquinas complejas, pero su funcionamiento interno ha sido descreierido. El control mental y el lavado de cerebro se han perfeccionado en los últimos 60 años. Hackear computadoras y hackear mentes individuales son similares. El siglo XXI será conocido como la era de las máquinas espirituales y los hombres sin alma. [https://www.amazon.com/Project-Catcher-Secrets-Cybernetic-Revealed/dp/1452804087/ref=asc\\_df.df.14528087/?tag=hyprod-20&linkCode=d0&hvadid=312128454859&hvpos=&hvV=&hvrnd=10418004802487893&016&quot;:hvpone=&hvtwo=&hvqmt=&hvdev=c&hvdcdml=&hvlocint=&hvlocphv=9004410&hvtargid=pla-5602022038209&psc=1](https://www.amazon.com/Project-Catcher-Secrets-Cybernetic-Revealed/dp/1452804087/ref=asc_df.df.14528087/?tag=hyprod-20&linkCode=d0&hvadid=312128454859&hvpos=&hvV=&hvrnd=10418004802487893&016&quot;:hvpone=&hvtwo=&hvqmt=&hvdev=c&hvdcdml=&hvlocint=&hvlocphv=9004410&hvtargid=pla-5602022038209&psc=1)

[71] Mehrotra, Parikha et al. Biosensores de la OlaEM: Una Revisión de RF, Microondas, Ola mm-Wave y Sensing Optical. *Sensores (Basel, Suiza)* vol. 19,5 1013. 27 Feb. 2019, doi:10.3390/s19051013

[72] Transposiciones celular concedió una patente US10786570B2 el 09-29-2020 a Jeffery Friedman y la Universidad Rockefeller

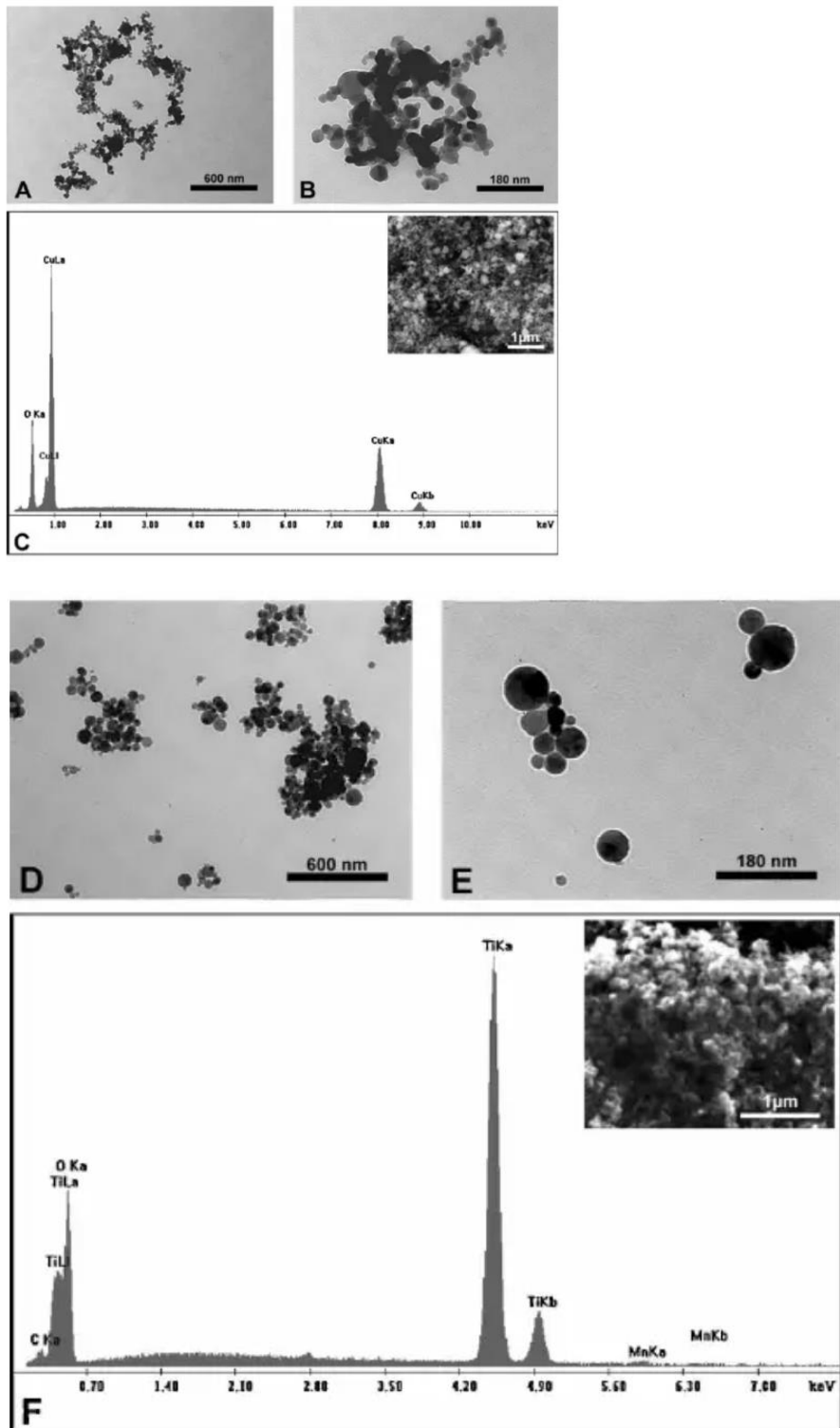
WO US [US US 1010786570B2](#) Jeffrey Friedman La Universidad Rockefeller Prioridad 2011-08-24 .Filenada 2018-07-30 . Concedido 2020-09-29 . Publicado 2020-09-29 . La invención actual proporciona métodos y composiciones para el control remoto de la función celular basada en el uso de ondas de radiofrecuencia para excitar nanopartículas dirigidas a tipos de células específicos. Las nanopartículas pueden aplicarse a la célula dien de forma extracelular y/o expresada intracelularmente.

[73] Ou, L., Song, B., Liang, H. *et al. Parte Fibre Toxicol*

[74] " Graphene Ribbons Show Promise as Semiconductors", Volume 86, Issue 3, Chemical and Engineering News, [Bethany Halford](#), Volume 86, Issue 4, January 28th, 2008. <https://cen.acs.org/articles/86/i4/Graphene-Ribbons.html>

[75] Ivask, Angela et al. Toxicidad de 11 metálicas napolículas a tres tipos de células mamámicas en V.itro. *Temas actuales en química medicinal* 15.18 (2015): 1914-1929. Web.

[76] Moschini, Elisa, Maurizio Gualtieri, Miriam Colombo, Umberto Fascio, Marina Camatini y Paride Mantecca. La Modalidad de las Interacciones Celulares impulsa la toxicidad de Nanosized CuO y TiO2 en Células Epitelles Alveolares Humanas. *Toxicología Cartas* 222, no. 2 (2013): 102-16. doi:10.1016/J.TOXLET.2013.07.019.



[La Figura 34 muestra la caracterización nanoparticular con la microscopía TEM y SEM-EDX. (A y B) Las micrográficas TEM revelan tamaño nanoparcial de Cobre Oxide. (C) Un espectro EDX de polvo de oxido de cobre. (D y E) Las micrográficas TEM mostraron Oxido de Titanio y Dióxido de Titanio. (F) EDX reveló un espectro de Dióxido de Titanio.[75][76]]

[77] Wanjun Cao, Lin He, Weidong Cao, Xiaobing Huang, Kun Jia, Jingying Dai, "Recent progress of graphene oxide as a potential vaccine carrier and addivant",

Acta Biomaterialia, Volumen 112, 2020, Páginas 14-28, ISSN 1742-7061-  
<https://www.sciencedirect.com/science/article/abs/pii/S1742706120303>

[78] Ou, L., Song, B., Liang, H. *Parte Fibre Toxicol*

[79] Wei Jiang, Ying-Ying Yang, An-Bang Guo, Study on magnetic properties of a nano-graphene bicapaer, Carbon, Volume 95, 2015, Pages 190-198, SSN 0008-6223 - <https://doi.org/10.1016/j.carbon.2015.07.097>.(<https://www.sciencedirect.com/science/article/pii/S00086223101159>)

[80] Los nanomateriales pueden inducir toxicidad reproductiva en mamíferos machos? Examen histórico y crítico: <https://www.sciencedirect.com/science/article/abs/pii/S0048969720388852>

[81] Nujiang Tang, Tao Tang, Hongzhe Pan, Yuanyuan Sun, Jie Chen, Youwei Du, Chapter 6 - "Propiedades magnéticas del grafeno", Editores: Wenqing Liu, Yongbing Xu, In Materials hoy, Spintronic 2D Materials, Elsevier, 2020, Páginas 137-161, ISBN 978008102154545 - <https://www.sciencedirect.com/science/article/pii/B9780081021545000059>

[82] Lieber, Charles 66 patentes que se están utilizando como andaluces y cables y nanosensores y semiconductores en todas las vacunas descritas aquí: <https://patft.uspto.gov/netacgi/nph-Parser?Sect1=PTO2&Sect2=HITOFF&p=1&u=%2Fnetahhtml%2FPTO%2Fsearch-bool.html&r=0f=S&l=50&IM1=%22Lieber%2C-Charles%22&FIELD1=INN&M&M2=&FIELD2=&FIELD-2=&d=PTT>

[83] COVID-19 Vaccine Ingredients, [nbulart.com/covid-19-vaccine-ingredients/](https://nbulart.com/covid-19-vaccine-ingredients/) 31 de agosto de 2021.

## COVID-19 VACCINE IDENTIFIED INGREDIENTS

IDENTIFIED INGREDIENTS	PFIZER	ASTRAZENECA	JANSSEN	MODERNA
Aluminium (Al)	Yes			Yes
Bismuth (Bi)	Yes			
Cadmium (Cd)				Yes
Calcium (Ca)				Yes
Carbon (C)	Yes			Yes
Chloride (Cl)	Yes			
Chlorine (Cl in saline solution)	Yes	Yes	Yes	Yes
Chromium (Cr)	Yes	Yes	Yes	
Copper (Cu)	Yes	Yes		Yes
Graphene oxide	Yes	Yes	Yes	Yes
Iron (Fe)	Yes	Yes	Yes	Yes
Lead (Pb)				Yes
Magnesium (Mg)				Yes
Manganese (Mn)			Yes	
Nickel (Ni)		Yes	Yes	
Nitrogen (N)	Yes			Yes
Oxygen (O)	Yes			Yes
Phosphorous (P)	Yes			Yes
Potassium (K)				Yes
Selenium (Se)				Yes
Silicon (Si)	Yes	Yes	Yes	Yes
Sodium (Na in saline solution)	Yes	Yes	Yes	Yes
Sulfur (S)	Yes	Yes		
Tin (Sn)		Yes		
Titanium (Ti)	Yes			Yes
Trypanosoma (parasite)	Yes	Possible		
Vanadium (Va)	Yes			

Source : <https://www.drrobertyoung.com/post/transmission-electron-microscopy-reveals-graphene-oxide-in-cov-19-vaccines>

## COVID-19 VACCINE DECLARED INGREDIENTS

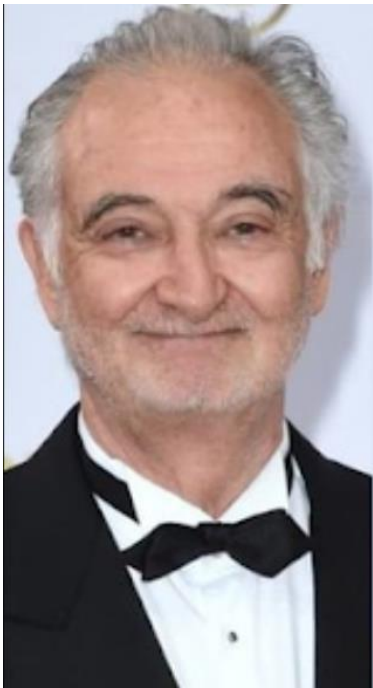
DECLARED INGREDIENTS	CHEMICAL COMPOSITION	PFIZER	MODERNA
<b>Active Ingredients</b>			
Comirnaty mRNA	$C_{15}H_{31}N_3O_{13}P_2$ (DNA/variable)	Yes	
mRNA-1273 mRNA	$C_{15}H_{31}N_3O_{13}P_2$ (DNA/variable)		Yes
<b>Lipids</b>			
Cholesterol	$C_{27}H_{46}O$	Yes	Yes
1,2-distearoyl-sn-glycero-3-phosphocholine (DSPC)	$C_{44}H_{88}NO_8P$	Yes	Yes
((4-hydroxybutyl)azanediyl)bis(hexane-6,1-diy)bis(2-hexyldecanoate) (ALC-3015)	$C_{48}H_{95}NO_5$	Yes	
2-[(polyethylene glycol)-2000]-N,N-ditetradecylacetamide (ALC-0159)	$H-(O-CH_2-CH_2)_n-OH$	Yes	
Lipid SM-102	$C_{44}H_{87}NO_5$		Yes
1,2-dimyristoyl-rac-glycero-3-methoxypolyethylene glycol-2000 (PEG2000-DMG)	$(C_2H_4O)_n C_{32}H_{62}O_5$		Yes
<b>Buffers</b>			
potassium chloride	KCl	Yes	
monobasic potassium phosphate	$KH_2PO_4$	Yes	
sodium chloride	NaCl	Yes	
basic sodium phosphate dihydrate	$Na_2HPO_4$	Yes	
tromethamine (tris(hydroxymethyl)aminomethane)	$C_4H_{12}ClNO_3$		Yes
tromethamine hydrochloride	$C_4H_{11}NO_3$		Yes
acetic acid	$C_2H_4O_2$		Yes
sodium acetate	$C_2H_3NaO_2$		Yes
water	$H_2O$	Yes	Yes
<b>Other</b>			
sucrose	$C_{12}H_{22}O_{11}$	Yes	Yes

EDIT - 9 September : Corrected some formula in this table. The list of undeclared components below remains unchanged.

[84] Elisa Moschini, Maurizio Gualtieri, Miriam Colombo, Umberto Fascio, Marina Camatini, Paride Mantecca, "La modalidad de interacciones celulares impulsa la toxicidad de CuO y TiO<sub>2</sub> de tamaño nanonaconeo en células epiteliales alveolares humanas". *Toxicology Letters*, 222 (2013) 102-116. <https://www.academia.edu/13627621/The-modality-of-cell-particle-interactions.drives.the-toxicity-of-nanosized-CuO-and-TiO2-in-human-alveolar-epitital-cells?email-work-card=view-paper>

[85] Young RO (2016) "Coagulación de Sangre Patológica y la Prueba de Estrés Oxidativo Micóxico (MOST) ". *Int J Vaccines Vaccin* 2(6): 00048. DOI: [10.15406/ijvv.2016.02.00048](https://doi.org/10.15406/ijvv.2016.02.00048)

[86] Inventor de óxido de grafeno dice que la vacuna te matará - Dr. Mylo Canderian, Ph.D. [nacido en Milos Iskanderianos, Corfú, Grecia, 1938], quien desarrolló la patente de Graphene Oxide para su uso como Bioarma Hematológica en 2015.



« In the future it will be a question of finding a way to reduce the population. We will start with the old ... then the weak and then the useless ... and especially the stupid ones.

We will get rid of them by making them believe it is for their own good. We will find something or cause it, a pandemic that targets certain people ... a virus that will affect the old or the fat, it doesn't matter; the weak will succumb to it, the fearful and the stupid will believe it and ask to be treated.

We will have taken care to have planned the treatment, a treatment that will be the solution. The selection of idiots will thus be done ... they will go to the slaughterhouse on their own. »

- Jacques Attali, French-Jewish 'shadow Président of France', interviewed in 1981 by Michael Salomon, 'Les Visages de l'avenir' French original text at [www.profession-gendarme.com](http://www.profession-gendarme.com)

[87] [Ning Yang, Xianping Chen, Tianling Ren, Ping Zhang, Daoguo Yang, biosensores basados en nanotubos Carbono, Sensores y Actuadores B: Chemical, Volume 207, Part A, 2015, Páginas 690-715,ISSN 0925-4005, <https://www.academia.edu/34167322/Carbon-nanotube.based.biosensors?email-work-card=title>](#)

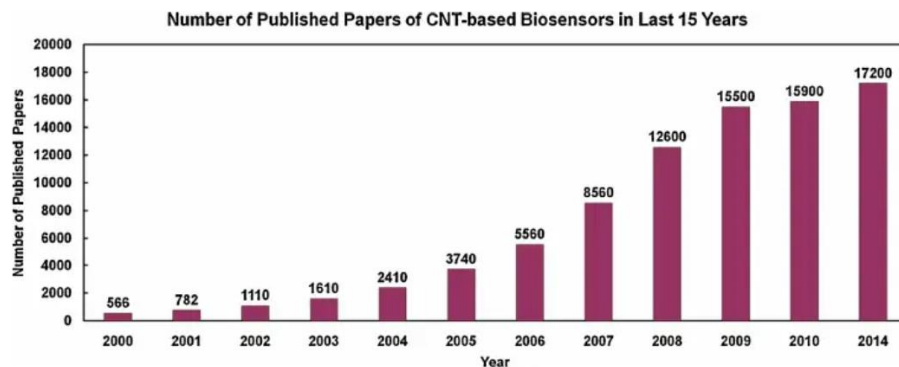


Fig. 1. Trend of investigation of CNT-based biosensor over the last decade.

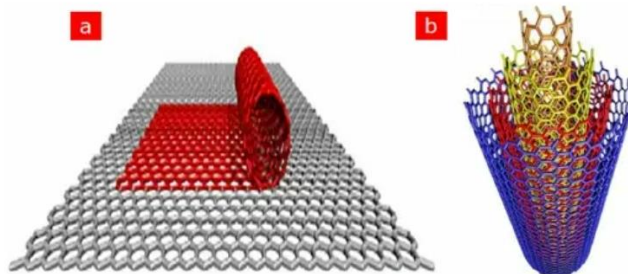


Fig. 2. (a) Schematics of SWCNTs which composed of a single layer of curly graphite. (b) Schematics of MWCNTs.

[88] Young, R.O., La microscopía electrónica de escaneo y transmisión revela el óxido de grafeno en CoV-19 vaccines". *Ciencia Científicas de Ciencia de Ciencia* 6.8 (2022): 98-111.

ASMS-06-1351 (11)

.pdf

Descargar PDF 1.19MB

**El siguiente es el archivo pdf en inglés y en español para el artículo anterior para el que puedes compartir con todos los que amas y te importan :**

Microscopía electrónica de escaneo y de transmisión en el Identificación de los No revelados en

.